

NGU Rapport 92.276

**Georadarmålinger ved
Gardermoen, Ullensaker og
Nannestad kommune, Akershus**

RAPPORT

| | | |
|--|-----------------------------------|---|
| Rapport nr. 92.276 | ISSN 0800-3416 | Gradering: Åpen |
| Tittel: | | |
| Georadarmålinger ved Gardermoen, Ullensaker og Nannestad kommune, Akershus | | |
| Forfatter: | Oppdragsgiver: | |
| Eirik Mauring | Faneprosjekt Gardermoen | |
| Torleif Lauritsen | | |
| Fylke: | Kommune: | |
| Akershus | Ullensaker | |
| Nannestad | | |
| Kartbladnavn (M=1:250.000) | Kartbladnr. og -navn (M=1:50.000) | |
| Hamar | 1915 II Ullensaker | |
| 1915 III Nannestad | | |
| Forekomstens navn og koordinater: | Sidetall: 17 | Pris: 280,- |
| Vigsteinmoen 32V 6156 66775 | | |
| Gardermoen V 32V 6147 66761 | Kartbilag: 13 | |
| Feltarbeid utført: | Rapportdato: | Prosjektnr.: |
| 19/5-26/5-1992 | 2/11-1992 | 63.2586.00 |
| Ansvarlig: | |  |

Sammendrag:

Georadarmålinger er utført i 5 områder rundt Gardermoen lufthavn i forbindelse med Faneprosjekt Gardermoen. Formålet med undersøkelsen var å finne egnete områder for studie av forurensningstransport i umettet sone. Rapporten gir en kort beskrivelse av georadaropptakene, mens tolkning er overlatt til oppdragsgiver etter ønske.

Penetrasjonsdypet varierte mellom 15 og 20 m. Målingene har de fleste steder gitt en detaljert avtegning av strukturer i avsetningene i de undersøkte områder (vesentlig breelvavsetninger). Grunnvannsspeilet kom også godt fram på opptakene de fleste steder. Skrålagningsvar best synlig ved bruk av 50 MHz antenner (framfor 200 MHz antenner).

Forekomstens navn og koordinater (forts.):

Gardermoen Ø 32V 6168 66755

Franzefoss S 32V 6195 66743

Grevsrød 32V 6210 66736

| | | |
|--------------------|--------------|------------|
| Emneord: Geofysikk | Miljøgeologi | Georadar |
| Breelvavsetning | | |
| | | Fagrapport |

INNHOLD

| | |
|-------------------------------------|----|
| 1 INNLEDNING..... | 4 |
| 2 TIDLIGERE UNDERSØKELSER..... | 4 |
| 3 UTFØRELSE..... | 4 |
| 4 RESULTATER..... | 6 |
| 4.1 Hastighetsanalyser..... | 6 |
| 4.2 Profileringer..... | 7 |
| 4.2.1 Grevsrud (Hovimoen)..... | 7 |
| 4.2.2 Franzefoss syd (Vilberg)..... | 7 |
| 4.2.3 Vigsteinmoen (Moreppen)..... | 8 |
| 4.2.4 Gardermoen øst..... | 9 |
| 4.2.5 Gardermoen vest..... | 9 |
| 5 KONKLUSJON..... | 9 |
| 6 REFERANSER..... | 10 |

Tekstbilag

Georadar - metodebeskrivelse

Databilag

Hastighetsanalyser

Kartbilag

- | | |
|-----------|----------------------------------|
| 92.276-01 | Oversiktskart |
| 92.276-02 | Georadaropptak, profil 1,2 og 3 |
| 92.276-03 | Georadaropptak, profil 3-8 |
| 92.276-04 | Georadaropptak, profil 10 og 11 |
| 92.276-05 | Georadaropptak, profil 20 og 24 |
| 92.276-06 | Georadaropptak, profil 22 |
| 92.276-07 | Georadaropptak, profil 23 og 23a |
| 92.276-08 | Georadaropptak, profil 25-25c |
| 92.276-09 | Georadaropptak, profil 31-35 |
| 92.276-10 | Georadaropptak, profil 41-48 |
| 92.276-11 | Georadaropptak, profil 57 |
| 92.276-12 | Georadaropptak, profil 60 |
| 92.276-13 | Georadaropptak, profil 61 |

1 INNLEDNING

Georadarmålinger er utført i 5 områder rundt Gardermoen lufthavn i forbindelse med Faneprosjekt Gardermoen. Formålet med undersøkelsen var å finne egnede områder for studie av forurensningstransport i umettet sone. Denne rapporten beskriver utførelse av målinger, samt resultater i form av utskrift av georadaropptak. En kort beskrivelse av opptakene presenteres også. Tolkning av opptakene overlates til oppdragsgiver etter ønske. Målingene ble utført av Torleif Lauritsen (med assistanse fra oppdragsgiver) i perioden 19/5-26/5-1992.

2 TIDLIGERE UNDERSØKELSER

Området er godt undersøkt kvartærgеологisk (f.eks. Longva 1987, Longva & Østmo 1986, Østmo 1976a, Østmo 1977) og hydrogeologisk (Østmo 1976b). Det er også utført refraksjonsseismikk og georadarmålinger i eller i nærheten av de aktuelle områder (Hillestad 1975, Sigurdsson 1988, Tønnesen 1990, Mauring & Rønning 1991). Det undersøkte området består av sand- og grusdominerte breelvavsetninger.

3 UTFØRELSE

En generell beskrivelse av georadar er vedlagt i tekstbilag. Det ble ialt profilert ca. 9 km og foretatt 5 CMP-målinger for bestemmelse av EM-bølgenes utbredelseshastighet i løsmassene. En oversikt over de undersøkte områder er vist i kartbilag -01. De enkelte profiler er vist i egne kartutsnitt sammen med georadaropptakene i kartbilag -02-13. Georadaren som ble benyttet var av typen pulseEKKO IV (Sensors & Software Inc., Canada). Det ble benyttet 400 V sender, og signalene ble stacket 64 ganger ved hvert målepunkt. Avstanden mellom antennene var 1 m. Øvrige opptaksparametre er vist i tabell 1.

Ved utskrift av georadaropptakene er disse plottet vest-øst og sør-nord. Profillengder som er angitt i tabell 1 angir antall målepunkter multiplisert med flyttavstand. Dersom en ved måling har vært unøyaktig ved antenneplasseringene, stemmer nødvendigvis ikke de angitte profillengder med de virkelige. I slike tilfeller kan informasjon om kryssende profiler, veier og terrengdetaljer benyttes for en mer eksakt plassering av profiler.

Tabell 1. Oversikt over opptaksparametre. Lengde og flyttavstand er oppgitt i meter, opptakstid og samplingsintervall i ns og antennefrekvens i MHz.

| <u>Profil</u> | <u>Lengde</u> | <u>Sampl.int.</u> | <u>Opp takstid</u> | <u>Flyttavstand</u> | <u>Ant.frekvens</u> | <u>Kartbilag</u> |
|---------------|---------------|-------------------|--------------------|---------------------|---------------------|------------------|
| 1 | 135 | 0.8 | 1024 | 0.5 | 200 | 02 |
| 1 | 132 | 0.8 | 1024 | 1 | 50 | 02 |
| 2 | 60.5 | 0.8 | 1024 | 0.5 | 200 | 02 |
| 2+3 | 119 | 0.8 | 1024 | 0.5 | 200 | 02 |
| 3 | 240.5 | 1.6 | 1024 | 0.5 | 200 | 03 |
| 4 | 60 | 0.8 | 1024 | 0.5 | 200 | 03 |
| 5 | 58 | 0.8 | 1024 | 0.5 | 200 | 03 |
| 6 | 60 | 0.8 | 1024 | 0.5 | 200 | 03 |
| 7 | 58.5 | 0.8 | 1024 | 0.5 | 200 | 03 |
| 8 | 58.5 | 0.8 | 1024 | 0.5 | 200 | 03 |
| 10 | 241 | 0.8 | 1024 | 1 | 200 | 04 |
| 10 | 241 | 1.6 | 1024 | 1 | 50 | 04 |
| 11 | 161 | 1.6 | 1024 | 1 | 50 | 04 |
| 20 | 1172 | 1.6 | 1024 | 2 | 50 | 05 |
| 22 | 813 | 0.8 | 512 | 1 | 200 | 06 |
| 23 | 252 | 0.8 | 512 | 1 | 200 | 07 |
| 23a | 275 | 0.8 | 512 | 1 | 200 | 07 |
| 24 | 270 | 0.8 | 512 | 1 | 200 | 05 |
| 25 | 119 | 0.8 | 512 | 1 | 200 | 08 |
| 25a | 420 | 0.8 | 512 | 1 | 200 | 08 |
| 25b | 219 | 0.8 | 512 | 1 | 200 | 08 |
| 25c | 240 | 0.8 | 512 | 1 | 200 | 08 |
| 31 | 152 | 0.8 | 512 | 1 | 200 | 09 |
| 32 | 181 | 0.8 | 512 | 1 | 200 | 09 |
| 33 | 152 | 1.6 | 1024 | 2 | 50 | 09 |
| 33 | 155 | 0.8 | 512 | 1 | 200 | 09 |
| 34 | 181 | 0.8 | 512 | 1 | 200 | 09 |
| 35 | 150 | 0.8 | 512 | 1 | 200 | 09 |
| 35 | 178 | 1.6 | 1024 | 2 | 50 | 09 |
| 41 | 50 | 0.8 | 512 | 0.5 | 200 | 10 |
| 42 | 74.5 | 0.8 | 512 | 0.5 | 200 | 10 |
| 43 | 49.5 | 0.8 | 512 | 0.5 | 200 | 10 |
| 44 | 72 | 0.8 | 512 | 0.5 | 200 | 10 |
| 45 | 50.5 | 0.8 | 512 | 0.5 | 200 | 10 |
| 46 | 70 | 0.8 | 512 | 0.5 | 200 | 10 |
| 47 | 49.5 | 0.8 | 512 | 0.5 | 200 | 10 |
| 48 | 65 | 0.8 | 512 | 0.5 | 200 | 10 |
| 57 | 568 | 1.6 | 1024 | 2 | 50 | 11 |
| 60 | 720 | 1.6 | 1024 | 2 | 50 | 12 |
| 61 | 582 | 1.6 | 1024 | 2 | 50 | 13 |

4 RESULTATER

I det følgende gis en beskrivelse av resultater fra georadarmålinger innenfor de 5 delområder som er undersøkt. Tolkning av opptakene og samtolking med eventuelle andre undersøkelser er etter ønske overlatt til oppdragsgiver.

4.1 Hastighetsanalyser

Opptaksdata og prosesserte data for hastighetsanalysene er vist i databilag (side 1-5). Resultater fra hastighetsanalysene er presentert i tabell 2.

Tabell 2. Oversikt over CMP hastighetsanalyser. Tidspunkt for refleksjoner (tid) er angitt i ns, og hastighet i m/ns.

| <u>CMP Nr.</u> | <u>Profil</u> | <u>Posisjon</u> | <u>Tid</u> | <u>Hastighet</u> | <u>Tid</u> | <u>Hastighet</u> |
|----------------|---------------|-----------------|------------|------------------|------------|------------------|
| 1 | 1 | 0 | 125 | 0.12 | | |
| 2a | 10 | 120 | 200 | 0.13 | 280 | 0.13 |
| 3 | 11 | 80 | 90 | 0.12 | 130 | 0.13 |
| 3a | 11 | 60 | 50 | 0.13 | 120 | 0.13 |
| 20 | 61 | 220 | 250 | 0.12 | | |

Resultatene viser at en kun har påvist hastighet i avsetninger ned til grunnvannsspeil. Hastighet i tørre avsetninger sees å ligge i området 0.12-0.13 m/ns. Ved dybdekonvertering av samtlige georadaropptak er hastigheten 0.125 m/ns benyttet. Erfaringer fra tilsvarende type avsetninger viser at hastighet i vannmettet sone ofte er rundt 0.07 m/ns. Denne hastigheten kan benyttes ved beregning av dyp til reflektor under grunnvannsspeil.

4.2 Profileringer

Ved angivelse av stedsnavn på de undersøkte områder, representerer stedsnavn i parenteser de navn som er benyttet på kart i målestokk 1:50 000 (kartbilag -01).

4.2.1 Grevsrud (Hovimoen)

Målingene er foretatt på østsiden (og oversiden) av et grustak. Profilene 1-8 er målt innenfor dette området, og opptakene er vist i kartbilag -02 og -03.

Opptakene viser flere horisontale/subhorisontale reflektorer i forskjellige nivåer. Området ligger forholdsvis nær iskontakten i øst, og det antas at reflektorene representerer strukturer i topplaget som kan være mektig i dette området. Utpreget skrålagnings kan ikke observeres i opptakene. Dyp til fjell i området er ca. 100 m, og det er 22-23 m ned til grunnvannsspeil (Hillestad 1975).

4.2.2 Franzefoss syd (Vilberg)

Målingene er foretatt på sålen og på toppen av et grustak. Profil 10 og 11 er målt i dette området, og opptakene er vist i kartbilag -04. Profil 10 er målt på toppen av grustaket, og det er målt både med 50 og 200 MHz antenner. En markert reflektor sees mellom posisjon 0 og 100 i området 100-150 ns og antas å representer bunnen av topplaget (7-8 m dyp). Reflektoren sees best på opptaket målt med 50 MHz antenne. Under denne reflektoren sees skrålagnings flere steder. Profil 11 er målt på sålen i grustaket, og opptakene viser utpreget skrålagnings helt til overflaten. Høydeforskjellen mellom profil 10 og 11 er ca. 8 m, og det antas at sålen i grustaket er omtrent i samme nivå som bunnen av topplaget i deltaavsetningen. En svak, gjennomgående reflektor mellom 200 og 300 ns i profil 11 kan muligens representerere grunnvannsspeilet.

4.2.3 Vigsteinmoen (Moreppen)

Området ligger like nord for Gardermoen lufthavn, og hovedtyngden av målingene ble utført i dette området. Profil 20-57 er målt innenfor området (kartbilag -05-11).

Profil 20, 22 og 24 er vist i kartbilag -05 og -06. Profil 20 og 22 er målt parallelt ca. 5 m fra hverandre; profil 20 på vei og profil 22 i grøfta sør for vei. Profil 20 ble målt litt videre mot vest i forhold til profil 22. Bedret penetrasjon langs profil 20 mellom posisjon 650 og 840 skyldes trolig at en her forlater veien. Grunnvannsspeilet ligger på ca. 4-5 m dyp og er spesielt tydelig mellom posisjon 150 og 300 langs profil 22 og langs hele profil 24. Energien avtar drastisk under grunnvannsspeilet. Skrålagnings sees flere steder, og skifter tilsynelatende helning (pga. endret EM-bølgehastighet) der den skjærer grunnvannsspeilet. Dette er tydelig f.eks. på profil 22 ved posisjon 210. En horisontal reflektor på ca. 1-3 m dyp vises stedvis og representerer trolig bunnen av topplaget.

Profil 23, 23a og 25 (kartbilag -07 og -08) har felles startpunkt og går i NNV-lig (P23 og 23a) og NNØ-lig (P25) retning. Steder med lokalt redusert penetrasjon (P23a-17 og P25-307) skyldes passering av vei som trolig har vært saltet og som gir dempning av signalene. Penetrasjonen avtar også mot nordenden av profil 23a. En horisontal reflektor på 3-5 m dyp kan sees langs store deler av profilene, men er mest framtredende på profil 25 mellom posisjon 550 og 960. Denne representerer grunnvannsspeilet. Over denne sees sporadisk horisontale reflektorer på 0-3 m dyp som trolig representerer bunnen av deltaets topplag. Også i disse profilene avtar energien under grunnvannsspeilet. Skrålagnings er ikke framtredende i profil 23 og 23a, og det antas at profilretningen er omrent vinkelrett på avsetningsretningen. Profil 25 viser horisontale og usammenhengende reflektorer rundt 200 og 300 ms. Den nederste av disse kan muligens representerer bunnen av deltaavsetningen. Skrålagnings av skiftende retning sees langs profil 25 (posisjon 510-530, 690-705, 725-760, 860-960).

Profil 31-48 er målt innen et avgrenset område kalt 'Forsøksfeltet'. Profilene er vist i kartbilag -09 og -10. Også i dette området opptrer grunnvannsspeilet som en markant reflektor på ca. 4-5 m dyp. En reflektor på 0-3 m dyp representerer topplaget. Flere steder sees skrålagningen å nå opp til dette (P31;20-60, P33;90-140, P41;40-50, P47;20-30). Flere profiler viser en tilsynelatende økende helning på skrålagningen der den krysser vannspeilet. Dette skyldes, som tidligere nevnt, at EM-bølgene har lavere hastighet i vannmettet sone. Skrålagningen er (naturlig nok) mest markant i de vest-østgående profiler. Skrålagningen er også best synlig i opptak målt med 50 MHz antenn (profil 33 og 35) der også penetrasjonsdypet er større.

Kartbilag -11 viser det nordligste profilet innen Vigsteinmoen-området (profil 57). Opptaket viser omrent samme forhold som i 'Forsøksfeltet', med grunnvannsspeil på 4-5 m dyp og

framtredende skrålagnings. I og med at det her er benyttet 50 MHz antenner blir oppløsningen trolig for dårlig til å påvise det grunne topplaget.

4.2.4 Gardermoen øst

Området ligger i østlig ende av Gardermoen lufthavn. Det er målt ett profil (profil 60), og oppaket er vist i kartbilag -12. Dårlig penetrasjon skyldes trolig betongveg fram til posisjon 390 og dyrket mark fra posisjon 390 til vestenden av profilet. En reflektor heller jevnt nedover fra ca. 90 ns (posisjon 690) til 150 ns (posisjon 0) og representerer trolig grunnvannsspeilet. Vestenden av profilet er meget nær antatt grunnvannsskille i området.

4.2.5 Gardermoen vest

Området ligger i vestlig ende av Gardermoen lufthavn, og krysser en ridebane. Det er målt ett profil (profil 61). Oppaket er vist i kartbilag -13. Vestlig ende av profilet stopper mot et omfattende ravineområde (marine avsetninger). Dårlig penetrasjon ved østenden av profilet skyldes passering av vei. Dette er også tilfelle mellom posisjon 430 og 450. Skrålagnings sees helt øverst i avsetningen, men fortsetter ikke på stort dyp.

5 KONKLUSJON

Georadarmålinger er utført i 5 områder på en breelvavsetning ved Gardermoen. Penetrasjonsdypet varierte mellom 15 og 20 m. Georadarmålingene har de fleste steder gitt en detaljert avtegning av strukturer i breelvavsetningen i de undersøkte områder. Proksimalt iskontakten i øst (Grevsrud og Franzefoss syd) har topplaget størst mektighet. Lenger vest (Vigsteinmoen) har topplaget en mektighet i området 0-3 m, og skrålagnings er mer dominerende. Skrålagningen kom best fram ved bruk av 50 MHz antenner. Grunnvannsspeilet kom også godt fram i Vigsteinmoen-området og ligger på ca. 4-5 m dyp. Lenger øst ligger grunnvannet for dypt til å kunne påvises.

6 REFERANSER

- Hillestad, G. 1975: Seismiske målinger på Øvre Romerike i perioden 1967-1974 i forbindelse med den internasjonale hydrologiske dekaden (IHD). *NGU-oppdrag 1310.* (Original-tolkninger i NGU's arkiv.)
- Longva, O. 1987: Ullensaker 1915 II. Beskrivelse til kvartærgeologisk kart M 1: 50 000 (med fargetrykt kart). *NGU Skrifter 76.*
- Longva, O. & Østmo, S.R. 1986: Ullensaker 1915 II, kvartærgeologisk kart M 1:50 000. *Norges geologiske undersøkelse.*
- Mauring, E. & Rønning, J.S. 1991: Undersøkelse av forurensset grunn/grunnvann på Trandum. Georadarmålinger. *NGU Rapport 91.218.*
- Sigurdsson, T. 1988: Georadarmätning vid Gardermoen, Ullensaker kommune, Akershus. (Testmätning i olika geologiska miljöer.) *Sveriges geologiska AB. ID-nr.: IRAP:88424.*
- Tønnesen, J.F. 1990: Forsøksmålinger med georadar, Ullensaker kommune, Akershus. *NGU Rapport 90.104.*
- Østmo, S.R. 1976a: Gardermoen, kvartærgeologisk kart CQR 051052-20, M 1:20 000. *Norges geologiske undersøkelse.*
- Østmo, S.R. 1976b: Hydrogeologisk kart over Øvre Romerike; grunnvann i løsavsetninger mellom Jessheim og Hurdalsjøen - M 1:20 000. *Norges geologiske undersøkelse.*
- Østmo, S.R. 1977: Rapport vedrørende kvartærgeologisk kartlegging med spesiell vekt på registrering og undersøkelse av sand- og grusforekomster i Ullensaker kommune, Akershus fylke. *NGU Rapport 0-75045.*

GEORADAR - METODEBESKRIVELSE

Georadar er en elektromagnetisk målemetode som kan benyttes til undersøkelse av lagdeling og strukturer i grunnen. Med en spesiell antenn sendes elektromagnetiske bølgepulser ned i jorda. En del av bølgeenergien blir reflektert tilbake til overflaten når bølgepulsen treffer en grense som representerer en endring i mediets dielektriske egenskaper. Resten av energien vil fortsette nedover og det kan fås reflekterte signaler fra en rekke grenseflater. Refleksjonene kan registreres med en mottakerantenne på overflaten. De mottatte signaler overføres til en kontrollenhett for forsterkning (og digitalisering ved digital georadar). Signalene sendes derfra til skriver (ved analog georadar) eller PD (digital georadar). Fra en utskrift av et georadaropptak kan toveis gangtid (t_{2v}) til de forskjellige reflektorene avleses. For å bestemme virkelig dyp til en reflektor må bølgehastigheten (v) i overliggende medium være kjent eller kunne bestemmes.

Bølgehastigheten kan bestemmes ved CDP-målinger ('common depth-point'). Slike målinger utføres ved å flytte sender- og mottakerantenne skrittvis og like langt ut til hver side fra et fast midtpunkt og registrere for hver ny posisjon. Refleksjoner vil da ideelt sett komme fra samme punkt på en reflektor som er planparallel med overflaten. Når antenneavstanden øker, vil reflekterte bølger få lengre gangvei og økning i gangtid. Denne økning i gangtid kan det ved digitale opptak kompenseres for ved å utføre NMO-korreksjon ('normal move-out'). Størrelsen på korreksjonen er avhengig av antenneavstand, toveis gangtid og bølgehastighet i materialet over reflektoren. Et CDP-opptak korrigeres med forskjellige hastigheter, og den hastighet som etter NMO-korreksjon gir best amplitude etter summering av trasene, angir radarbølgehastigheten i mediet.

Etter at hastigheten er bestemt kan dypet (d) beregnes etter uttrykket;

$$d = \frac{vt_{2v}}{2}$$

I vakuum er bølgehastigheten lik lyshastigheten: $c = 3.0 \cdot 10^8$ m/s. I alle andre media gjelder følgende relasjon;

$$\epsilon_r = \left(\frac{c}{v}\right)^2$$

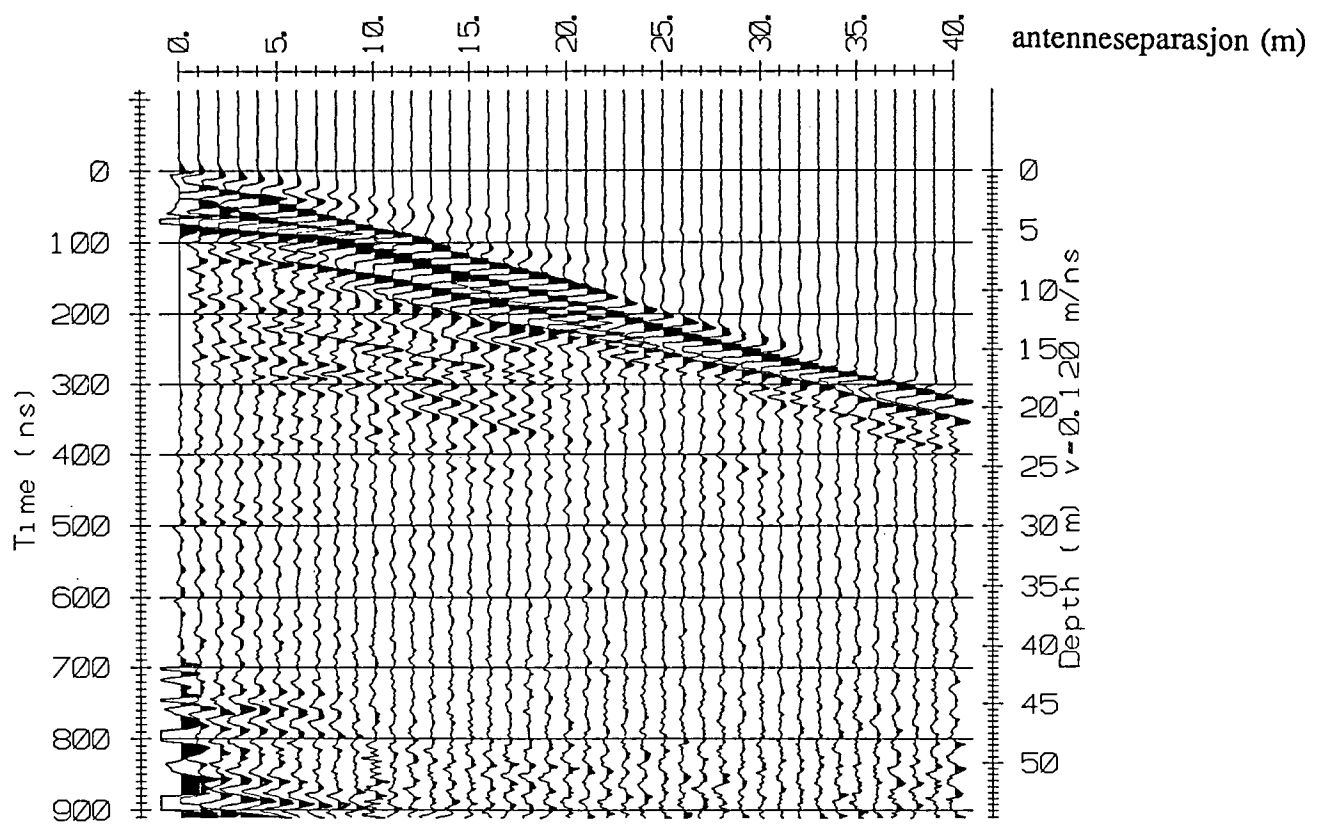
hvor ϵ_r er det relative dielektrisitetstallet. ϵ_r -verdien for et materiale vil derfor være en bestemmende faktor for beregning av dyp til reflektorer. I tabellen på neste side er det gitt en oversikt over erfaringstall for ϵ_r i en del materialtyper. Tabellen viser også hastigheter og ledningsevne i de samme media.

Dybderekkevidden for georadarmålinger er i stor grad avhengig av elektrisk ledningsevne i grunnen og av den utsendte antennefrekvens. Både økende ledningsevne og en økning i antennefrekvens vil føre til hurtigere demping av bølgepulsene og dermed minkende penetrasjon. I godt ledende materiale som marin silt og leire vil penetrasjonen være helt ubetydelig. I dårlig ledende materiale som f.eks. tørr sand, kan det forventes en dybderekkevidde på flere titalls meter når det benyttes en lavfrekvent antenn (f.eks. 50 eller 100 MHz). For grunnere undersøkelser vil en mer høyfrekvent antenn gi bedre vertikal oppløsning.

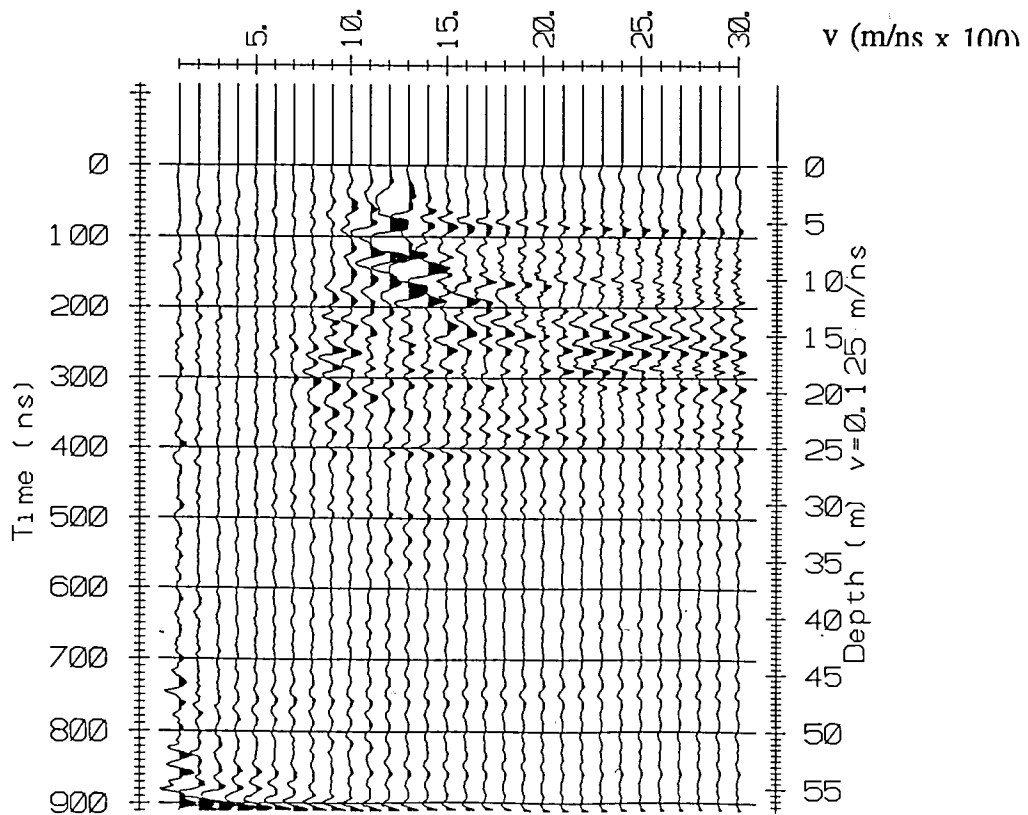
| <u>Medium</u> | <u>ϵ_r</u> | <u>v (m/ns)</u> | <u>ledningsevne (mS/m)</u> |
|------------------------|--------------------------------|------------------|----------------------------|
| <i>Luft</i> | <i>1</i> | <i>0.3</i> | <i>0</i> |
| <i>Ferskvann</i> | <i>81</i> | <i>0.033</i> | <i>0.1</i> |
| <i>Sjøvann</i> | <i>81</i> | <i>0.033</i> | <i>1000</i> |
| <i>Leire</i> | <i>5-40</i> | <i>0.05-0.13</i> | <i>1-300</i> |
| <i>Tørr sand</i> | <i>5-10</i> | <i>0.09-0.14</i> | <i>0.01</i> |
| <i>Vannmettet sand</i> | <i>15-20</i> | <i>0.07-0.08</i> | <i>0.03-0.3</i> |
| <i>Silt</i> | <i>5-30</i> | <i>0.05-0.13</i> | <i>1-100</i> |
| <i>Fjell</i> | <i>5-8</i> | <i>0.10-0.13</i> | <i>0.01-1</i> |

Tabell over relativt dielektrisitetstall, radarbølge-hastigheter og ledningsevne i vanlige materialtyper.

CMP-opptak 1

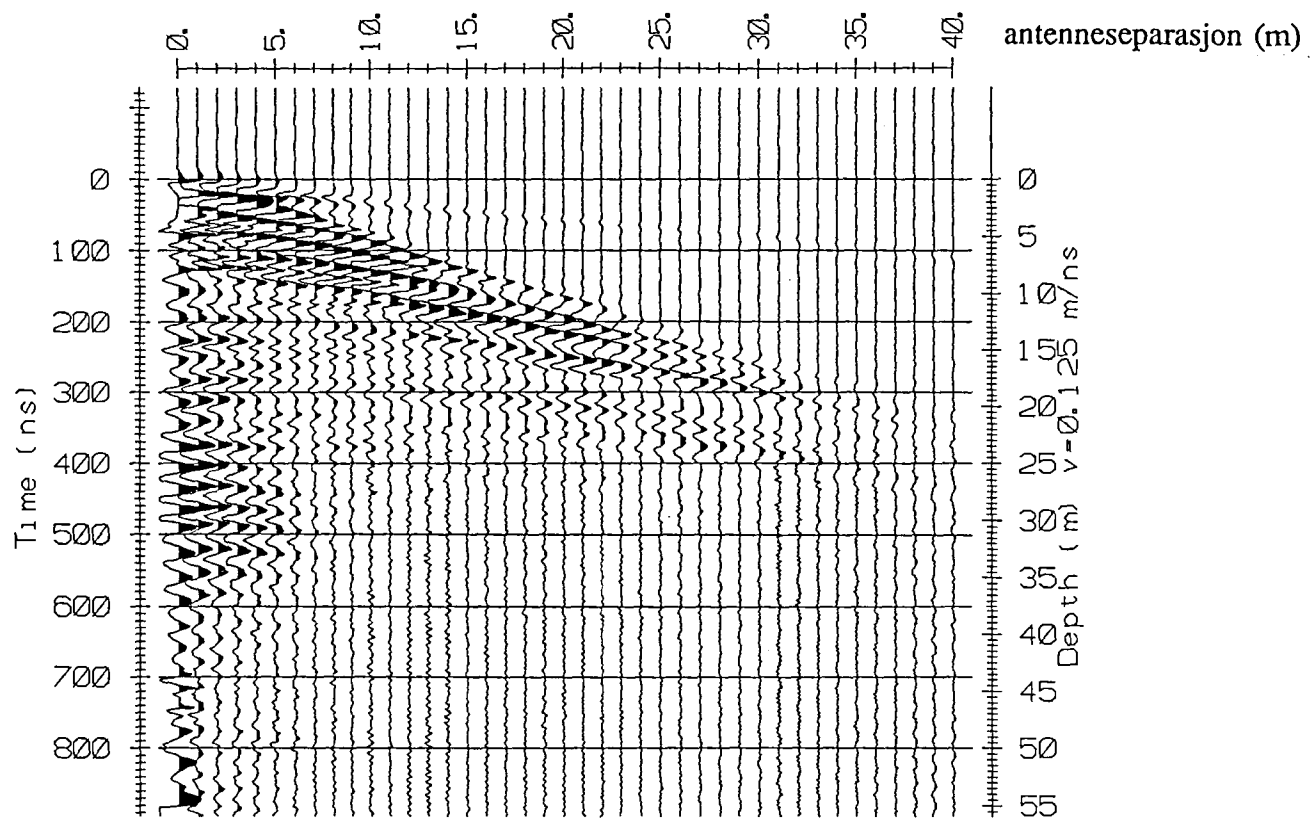


Hastighetsanalyse

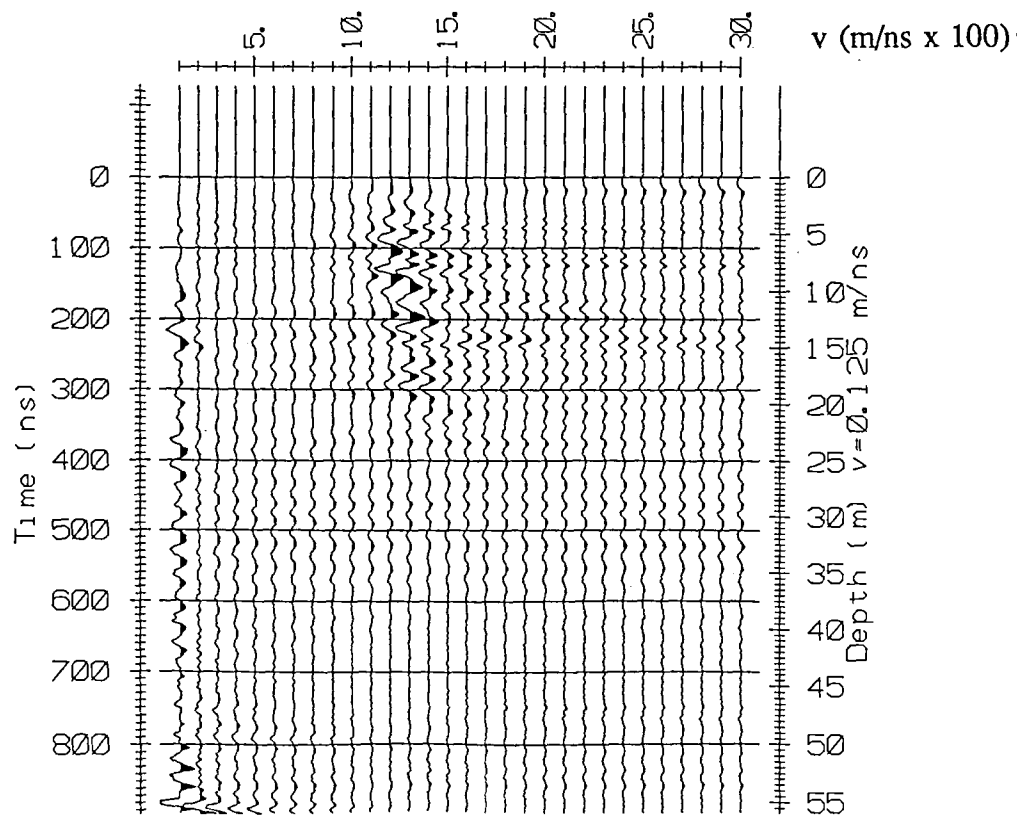


CMP-opptak 2a

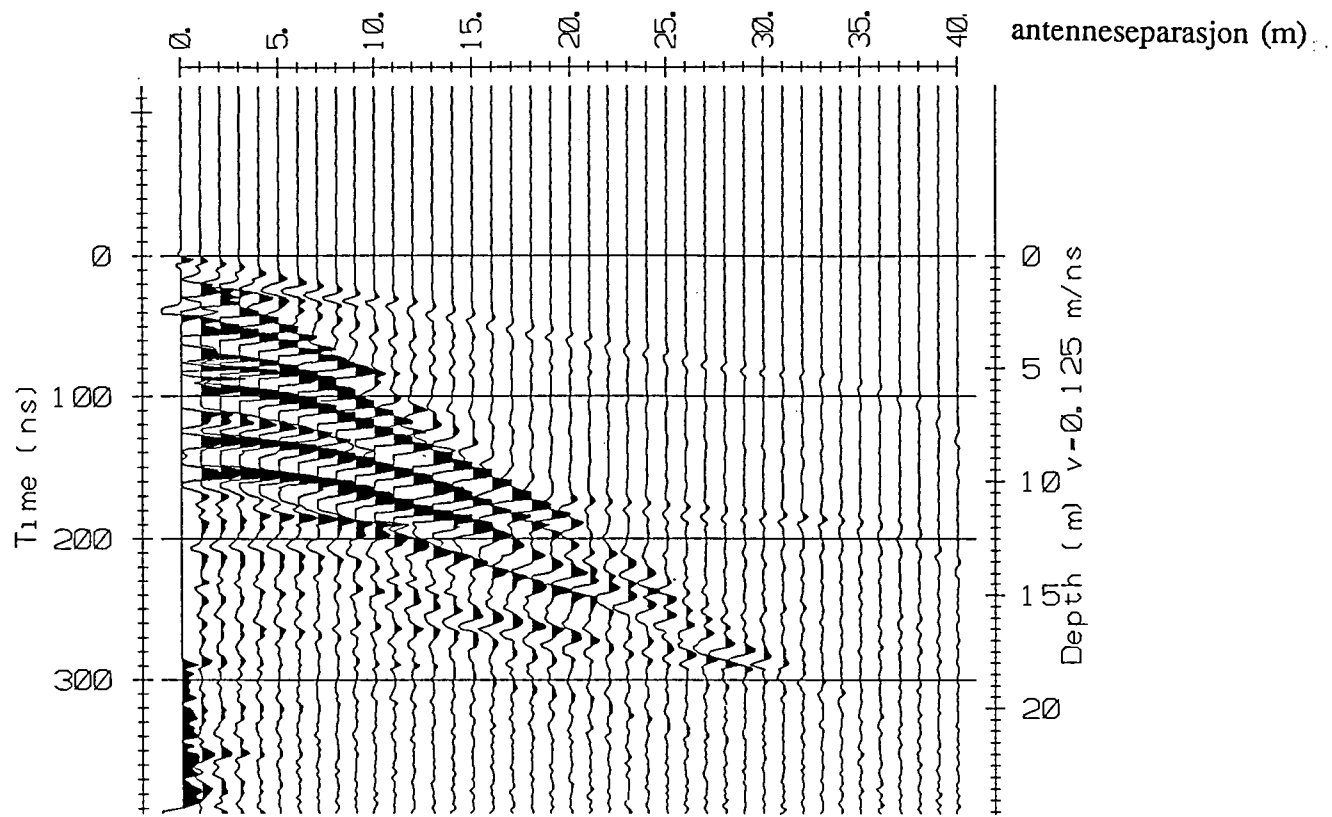
Databilag
Side 2



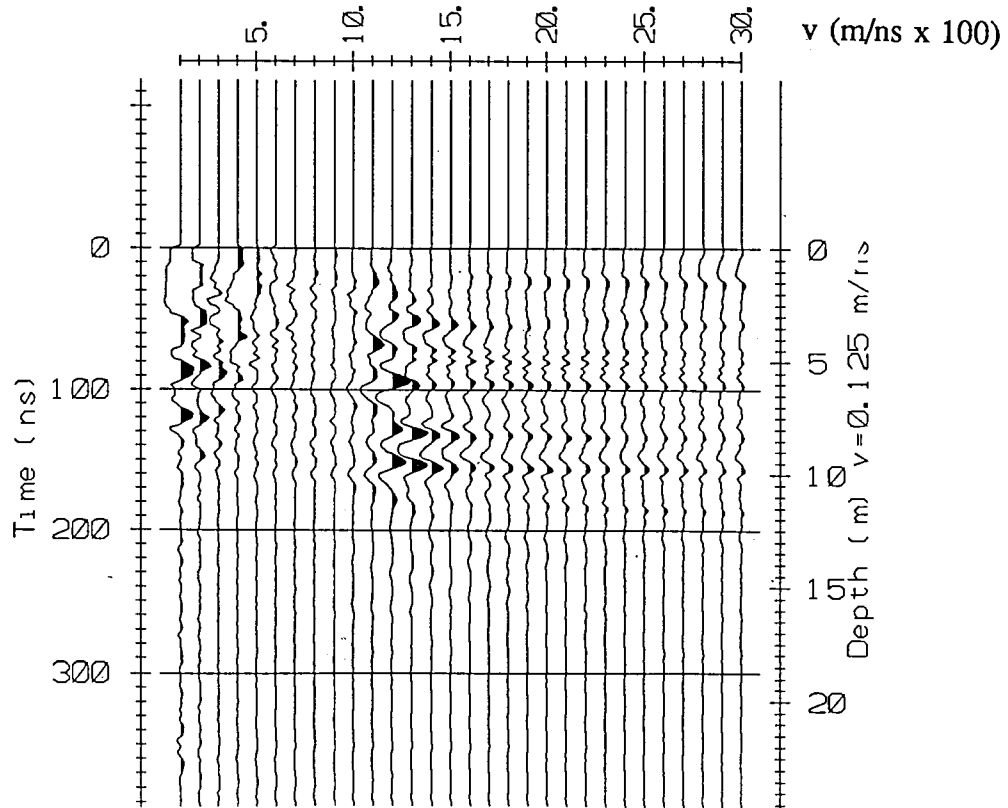
Hastighetsanalyse



CMP-opptak 3

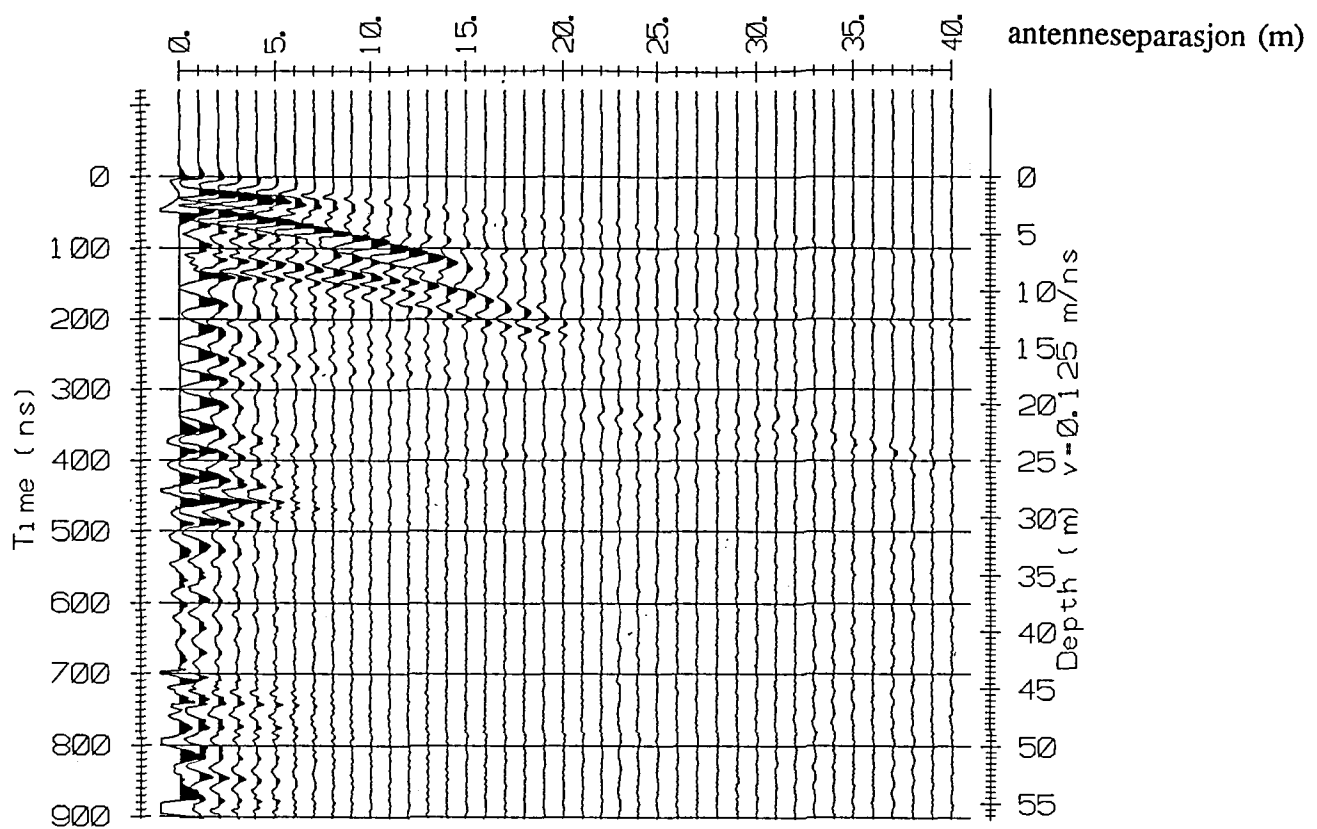


Hastighetsanalyse

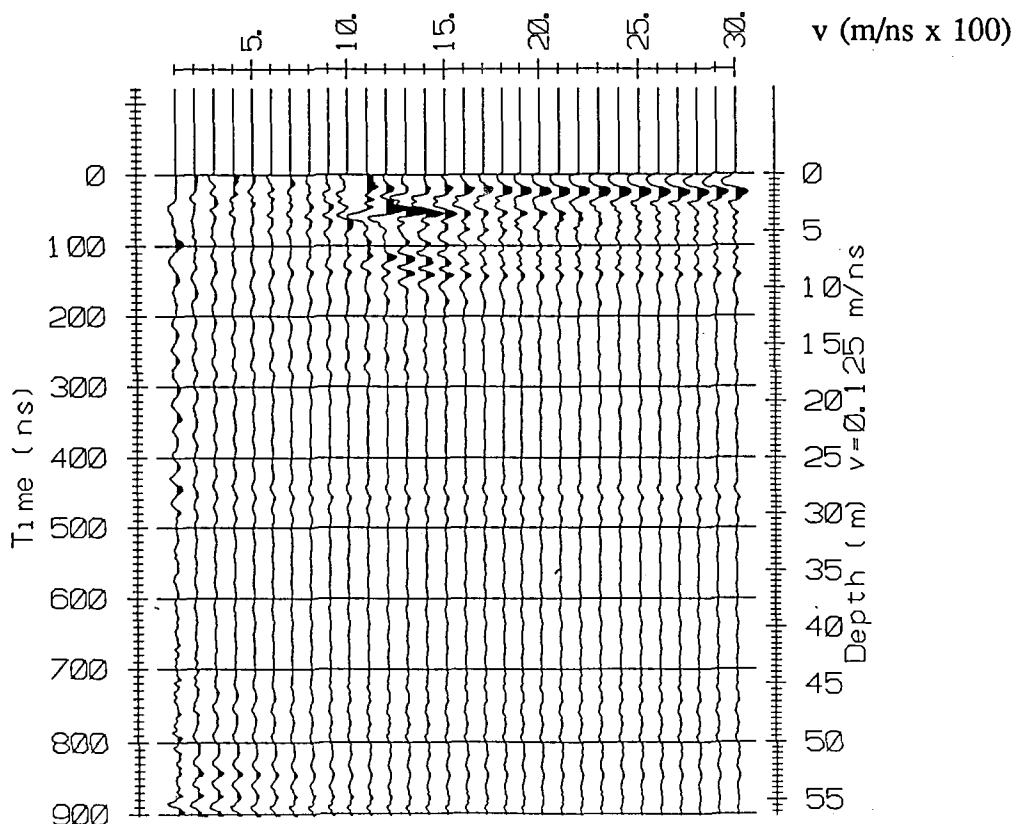


CMP-opptak 3a

Databilag
Side 4

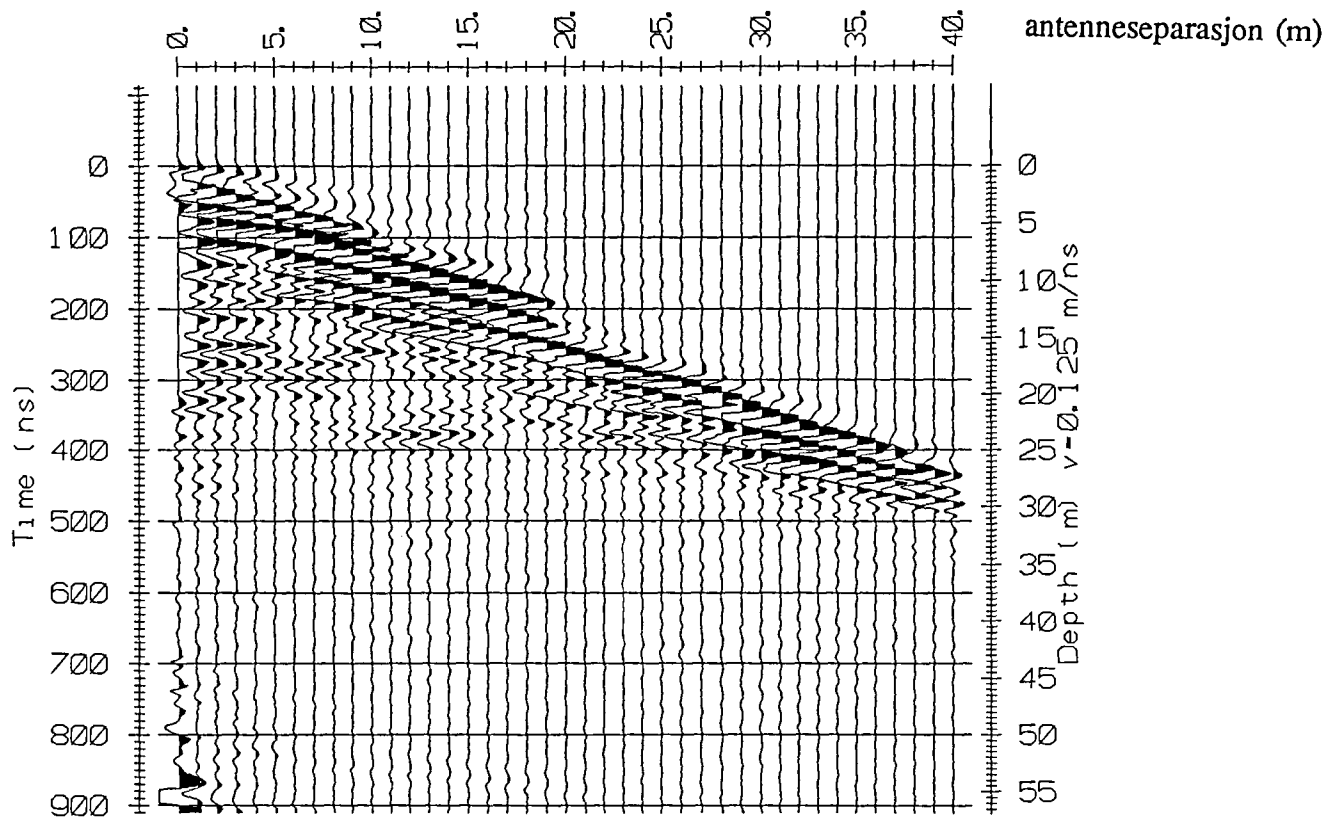


Hastighetsanalyse

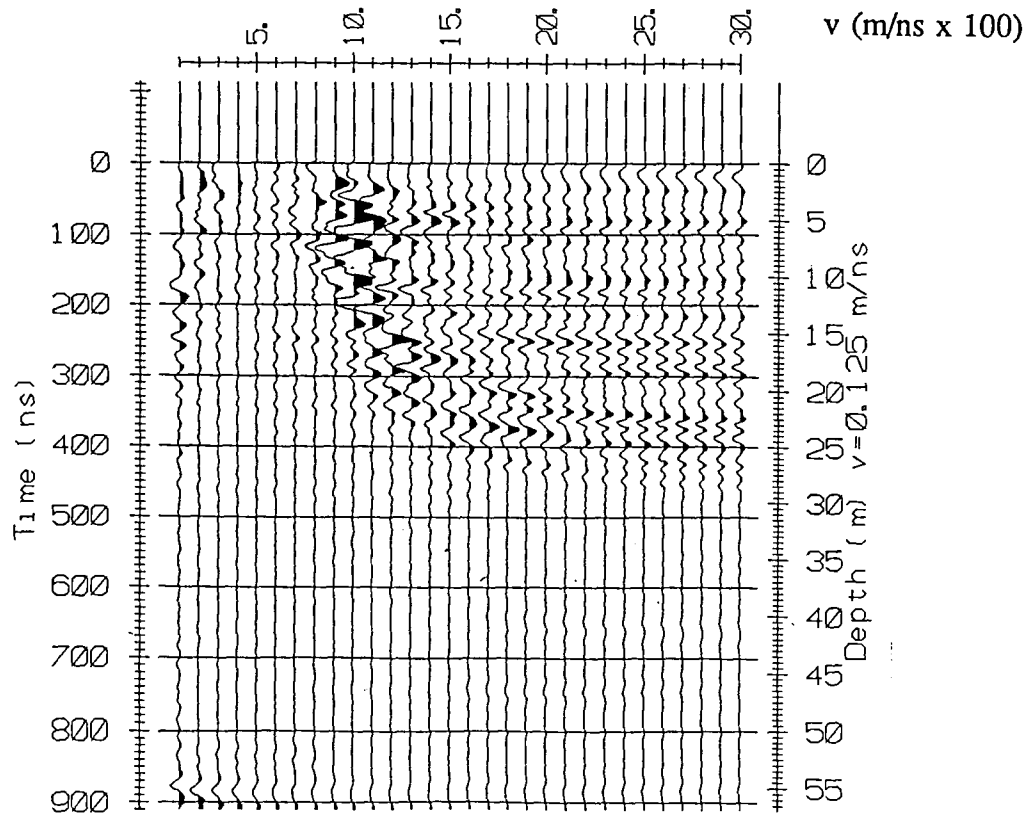


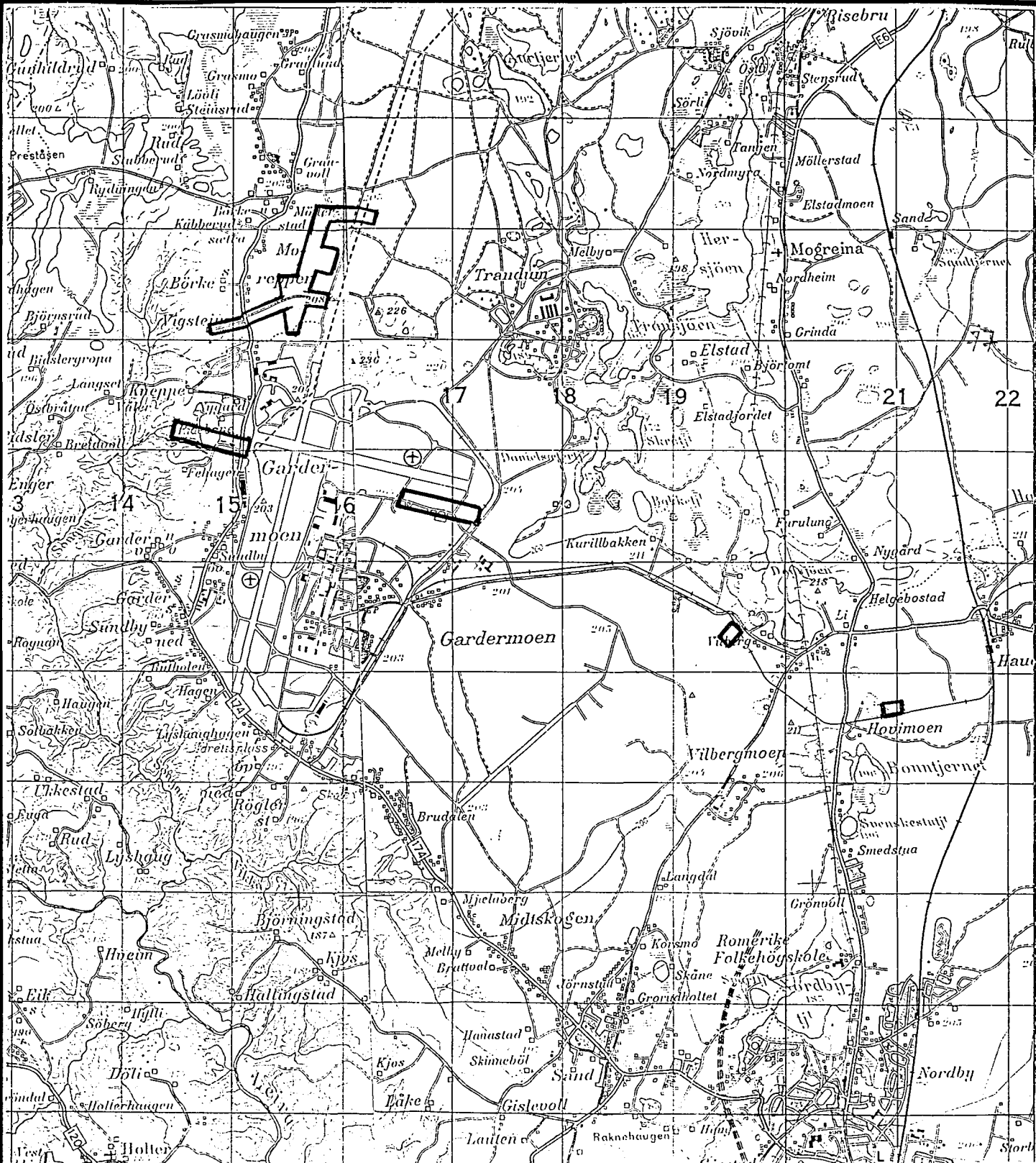
CMP-opptak 20

Databilag
Side 5



Hastighetsanalyse





UNDERSØKT OMRÅDE

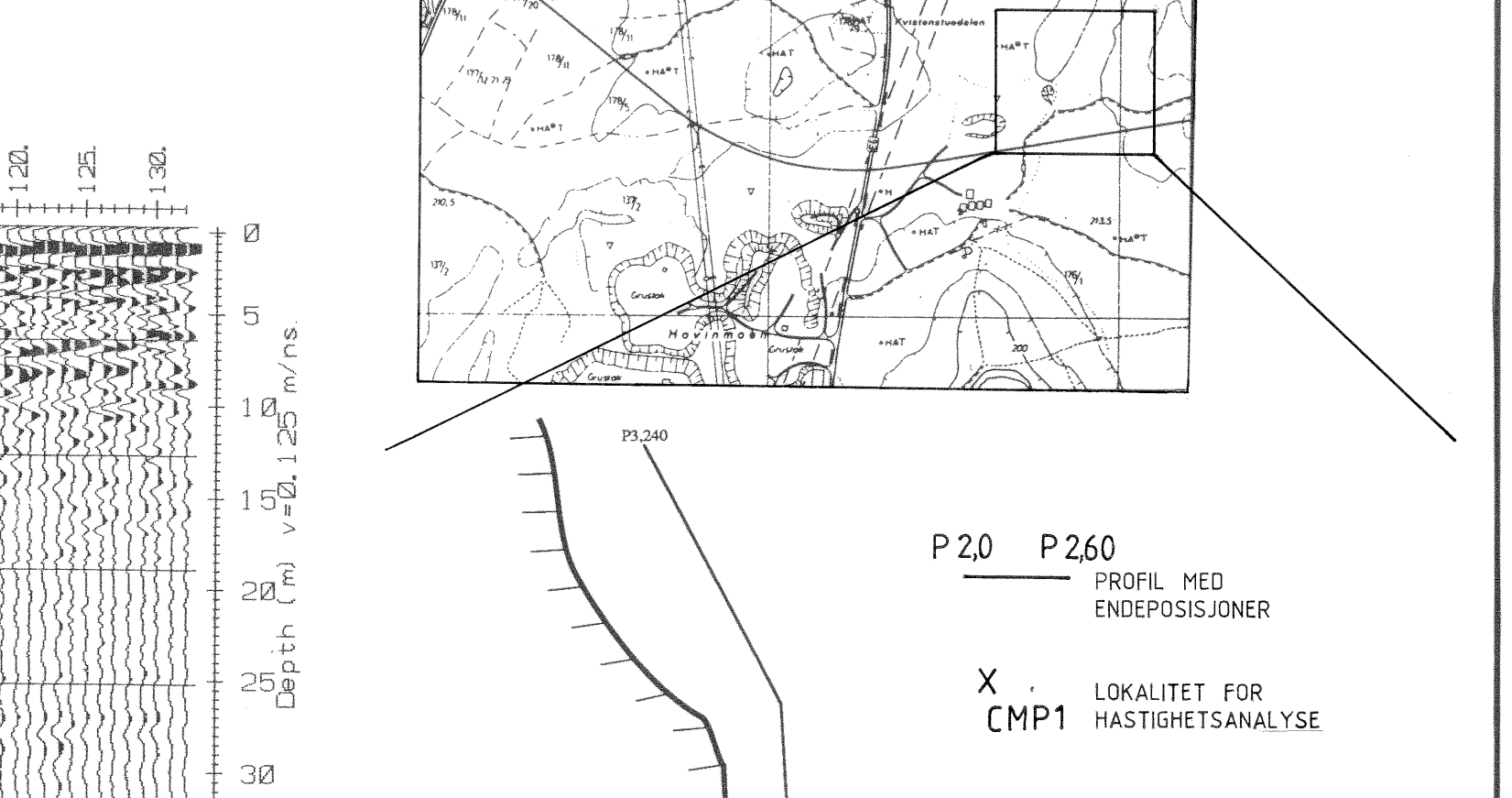
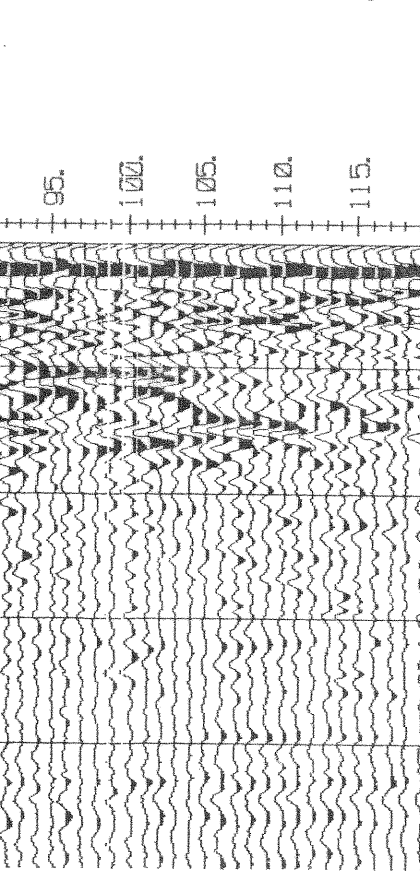
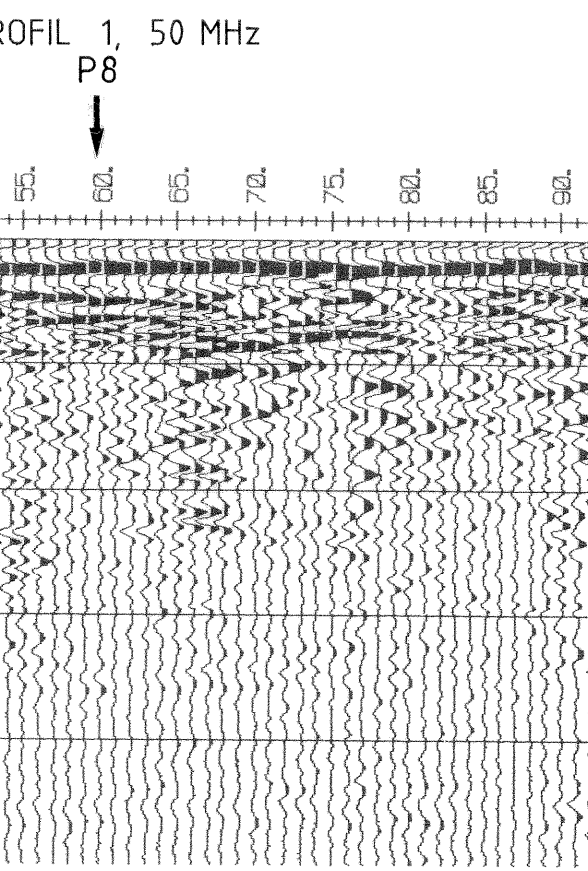
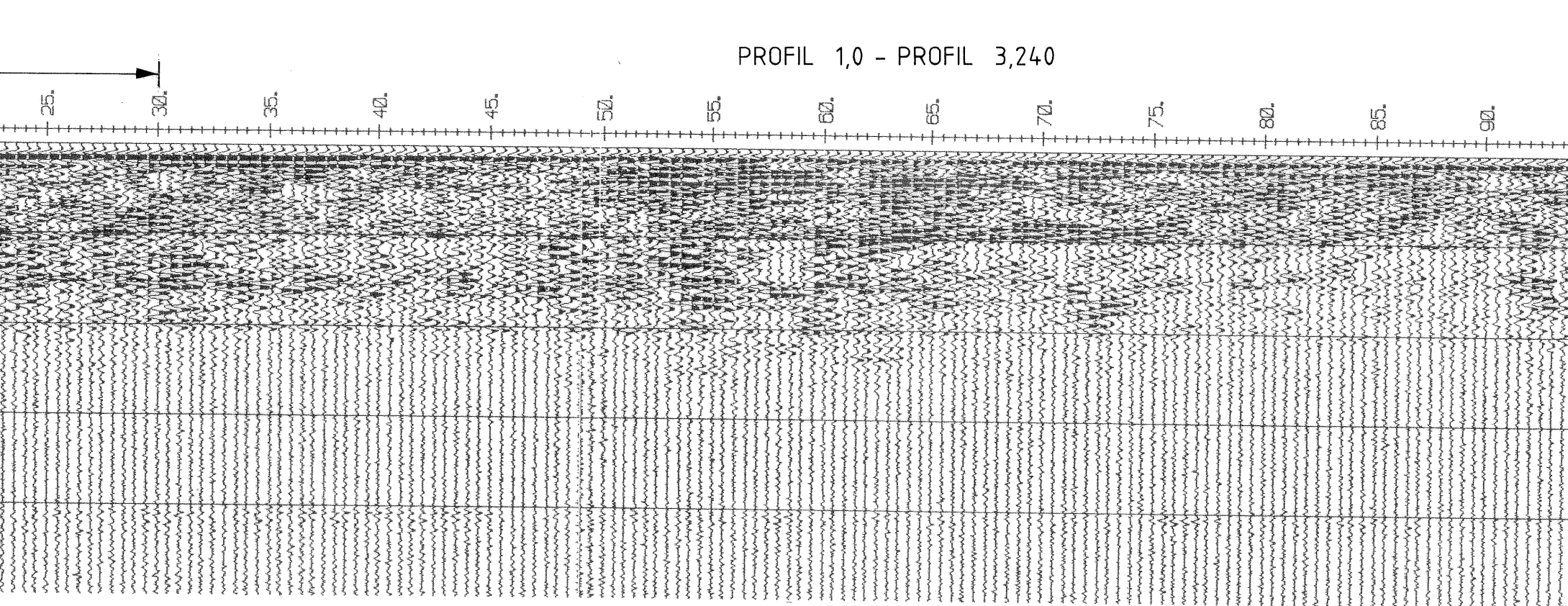
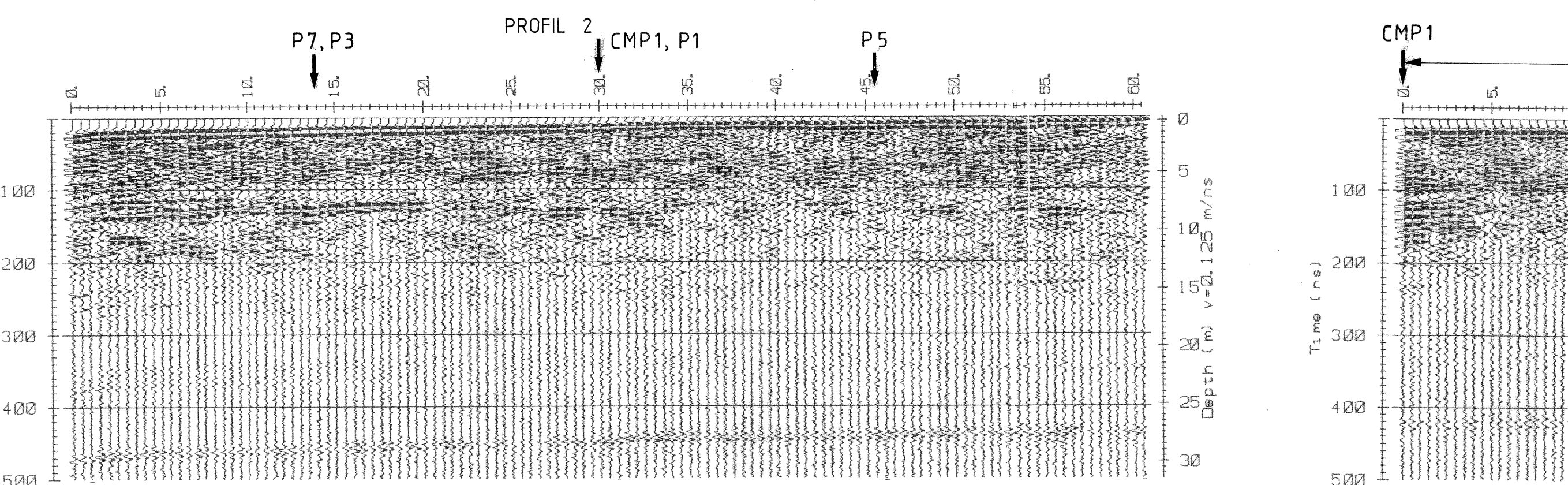
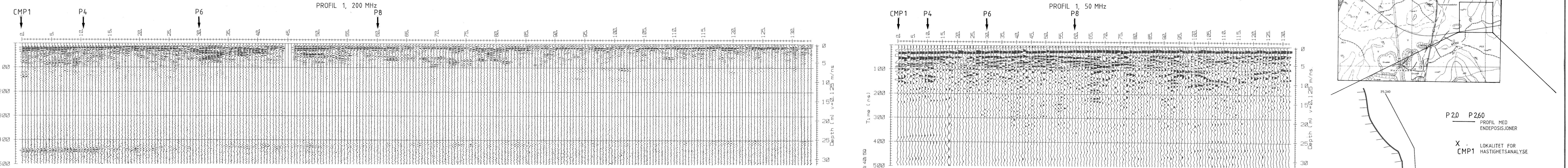
NGU - FANEPROSJEKT GARDERMOEN

OVERSIKTSKART

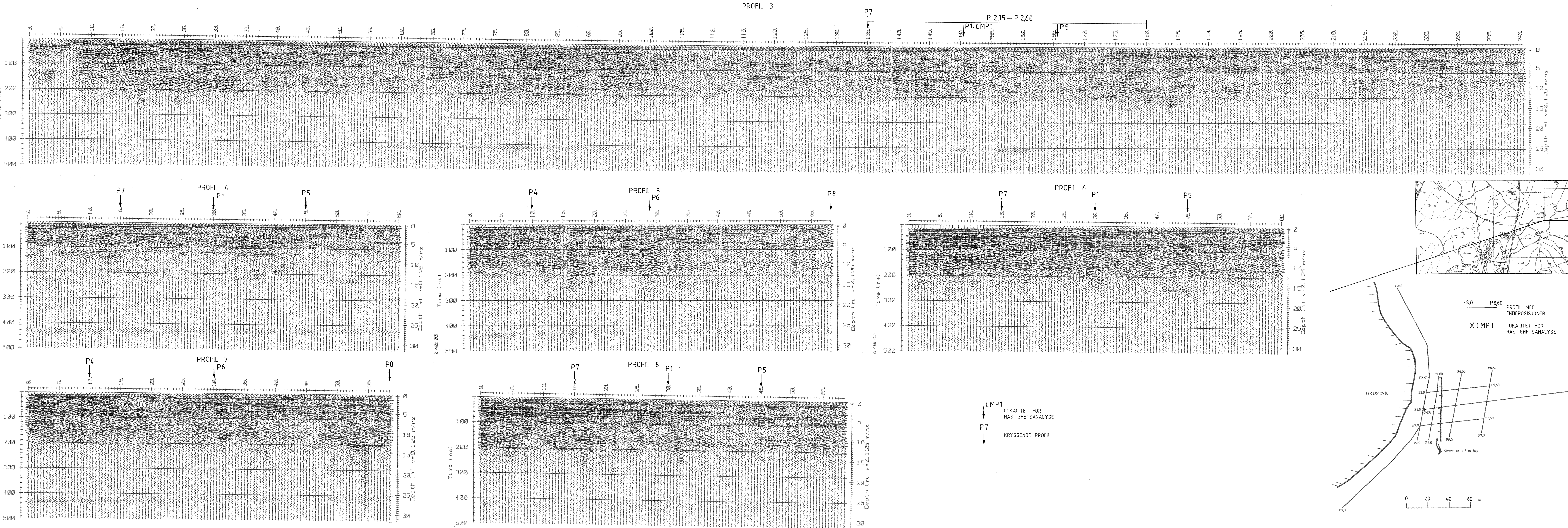
GARDERMOEN

NANNESTAD/ULLENSAKER, AKERSHUS

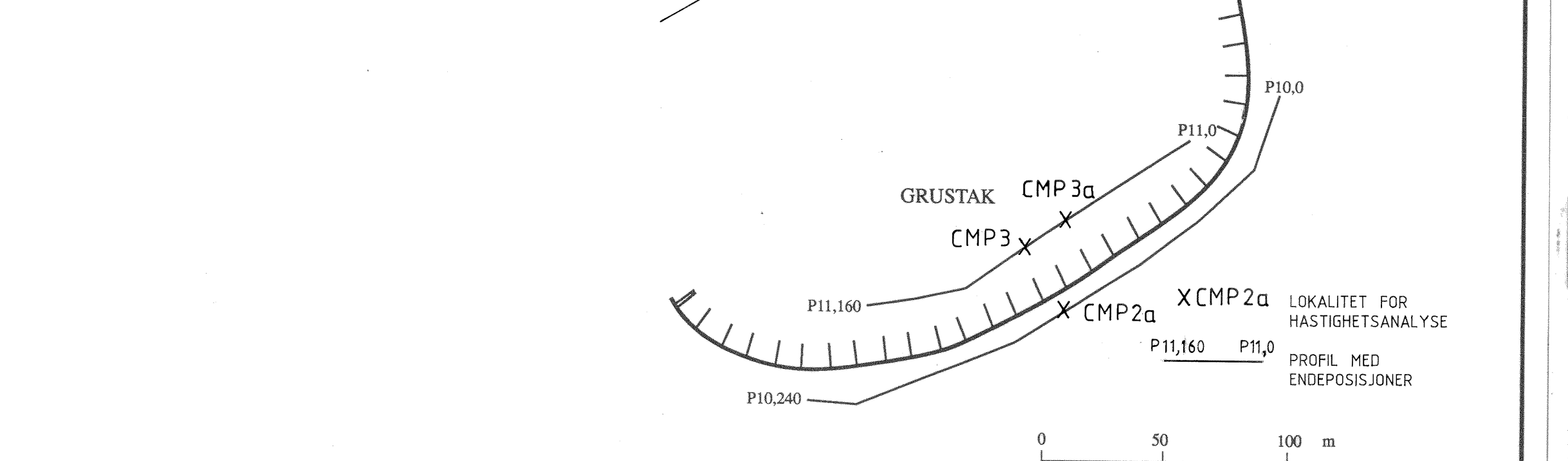
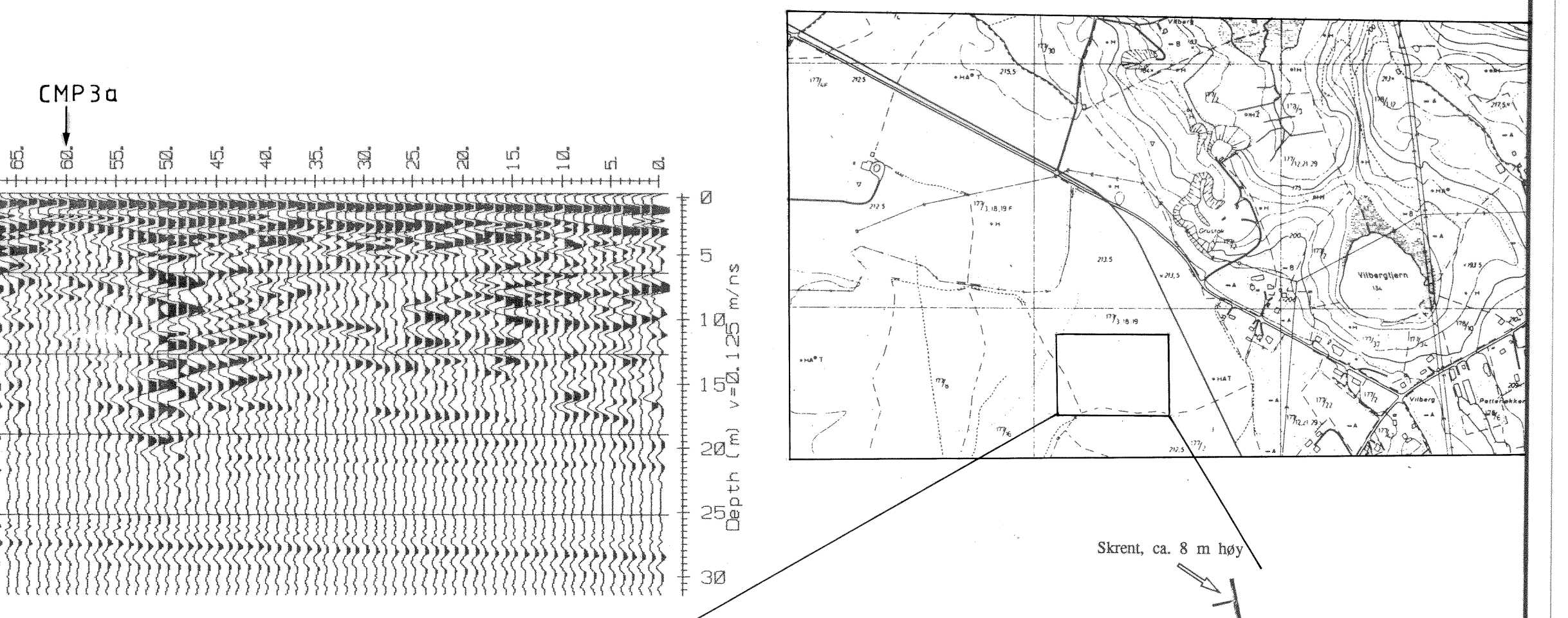
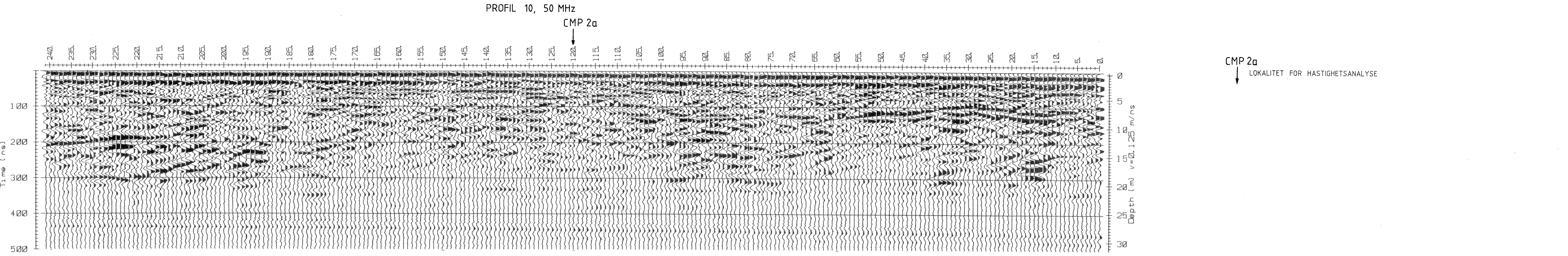
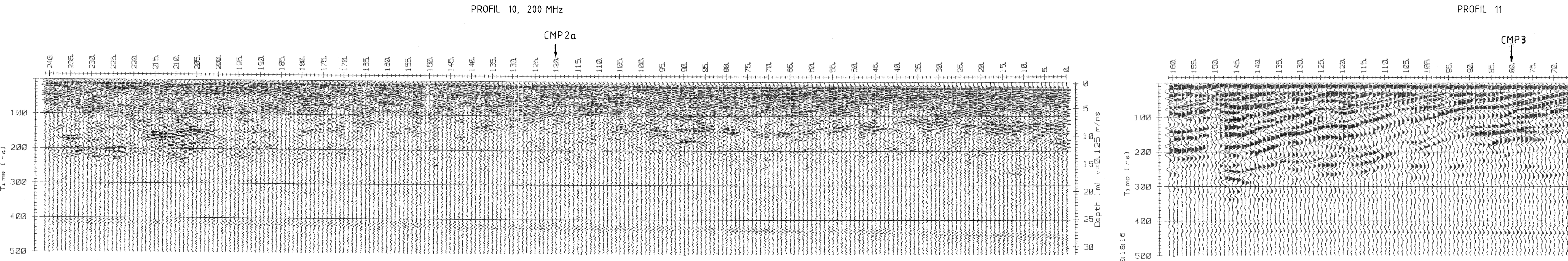
| MÅLESTOKK | MÅLT | TL | MAI 1992 |
|-----------|------|----|----------|
| 1:50 000 | TEGN | | |
| | TRAC | | |
| | KFR. | | |



| | | |
|--|--|-------------------------------------|
| NGU / FANEPROSJEKT GARDERMOEN GEORADARPROFIL 1 - 3 GREVSRUD (HOVIMOEN) ULLENSAKER KOMMUNE, AKERSHUS | MÅLT TL KART 1: 10 000 1: 1 430 | TEGN. EM OKT 1992 TRAC KFR |
| NORGES GELOGISKE UNDERSØKELSE TRONDHEIM | TEGNING NR. 92.276 - 02 | KARTBLAD NR. 1915 II |



| | | |
|--|---|--------------------------------------|
| NGU / FANEPROSJEKT GARDERMOEN GEORADARPROFIL 3 - 8 GREVSRUD (HOVIMOEN) ULLENSAKER KOMMUNE, AKERSHUS | MÅLT TL KART TEGN EM 1: 10 000 1: 1 430 | MAI 1992 OKT 1992 TRAC KFR. |
| NORGES GEOLISKE UNDERSØKELSE TRONDHEIM | TEGNING NR. 92.276 - 03 | KARTBLAD NR. 1915 II |



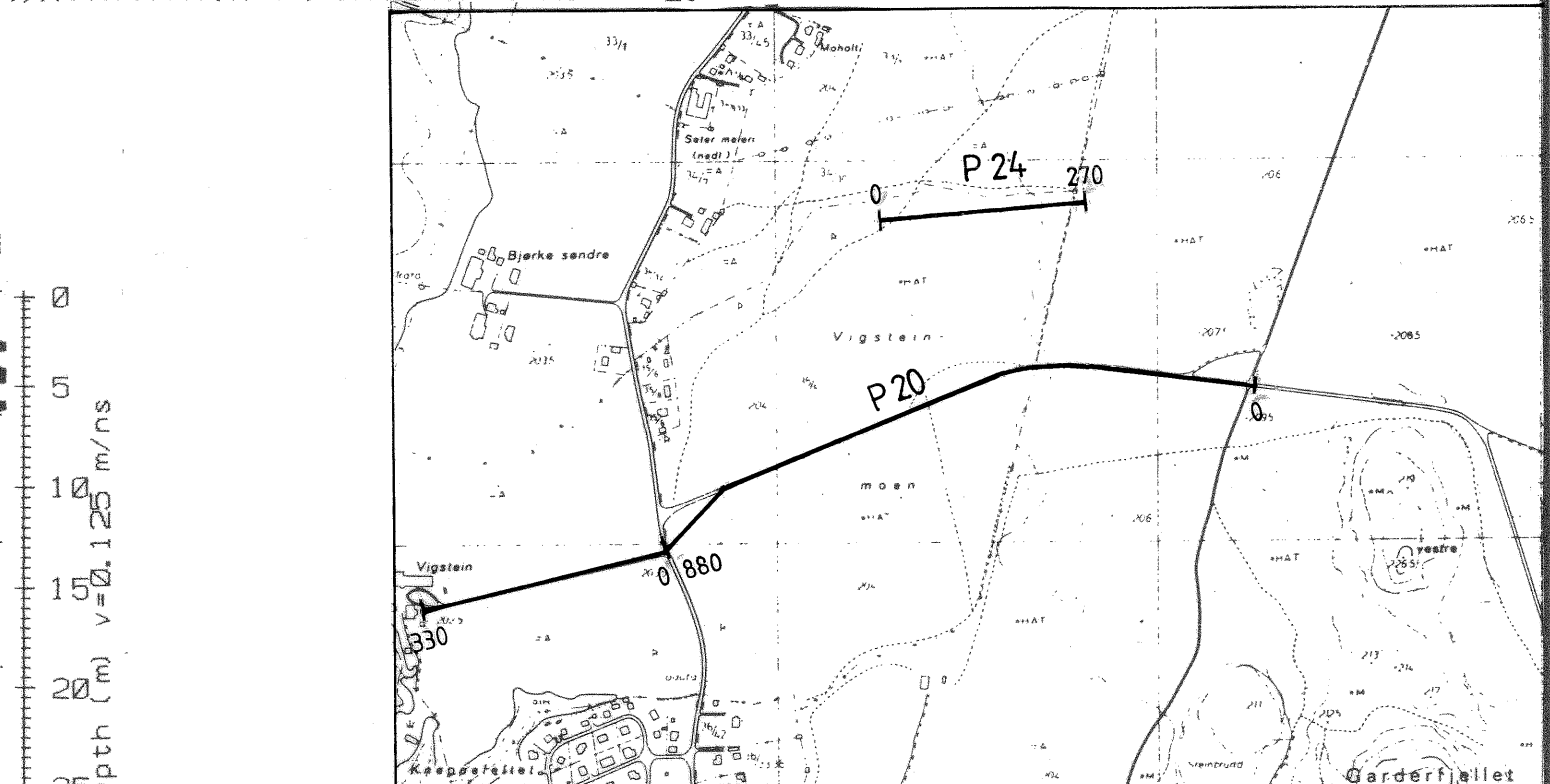
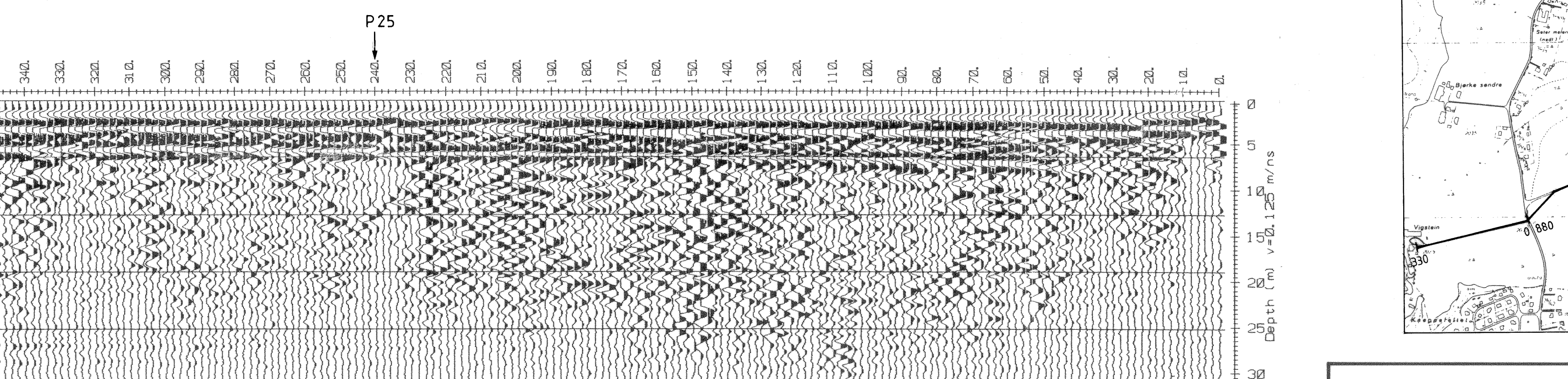
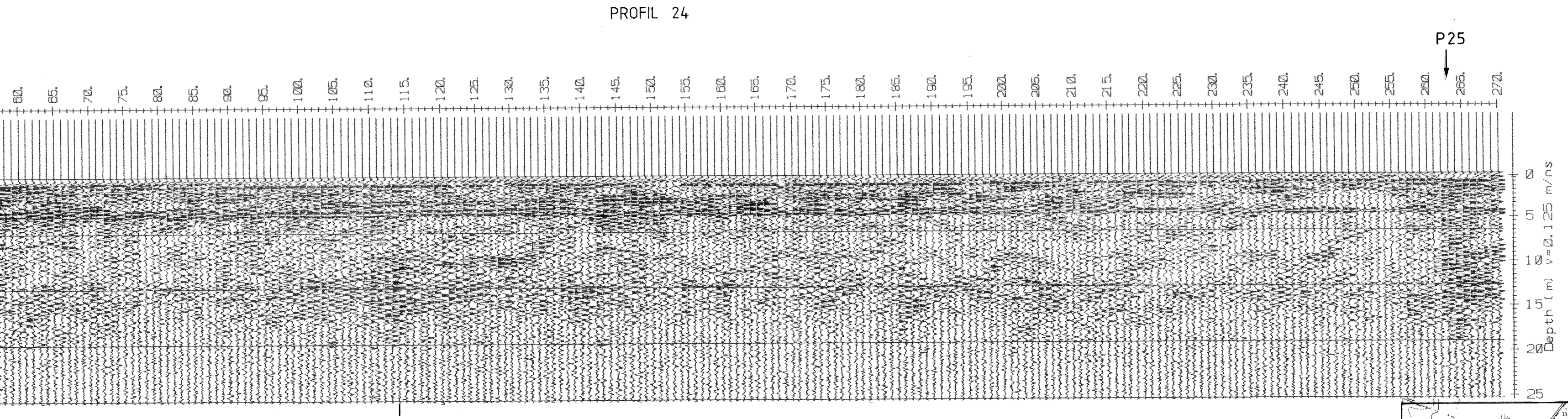
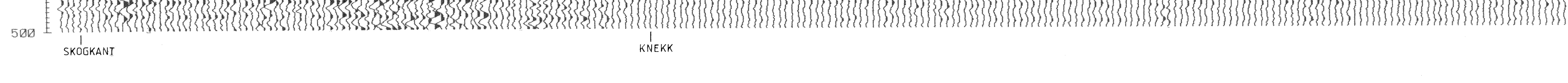
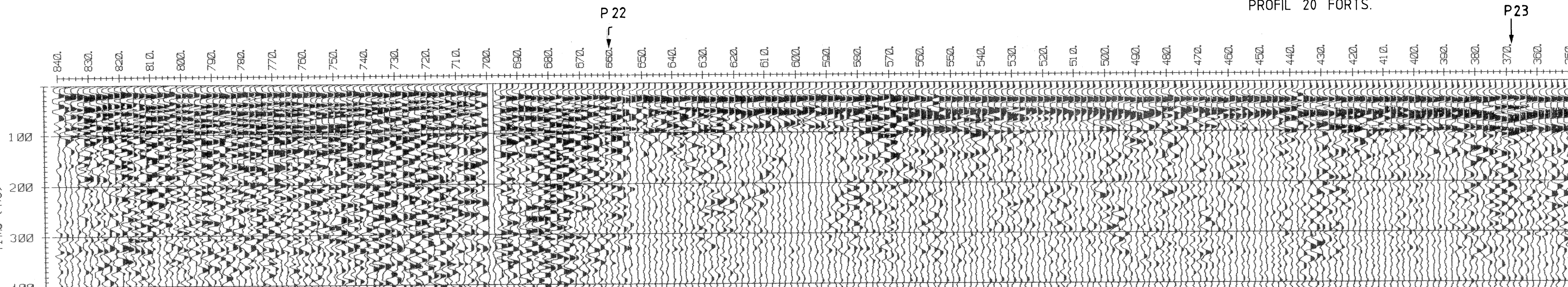
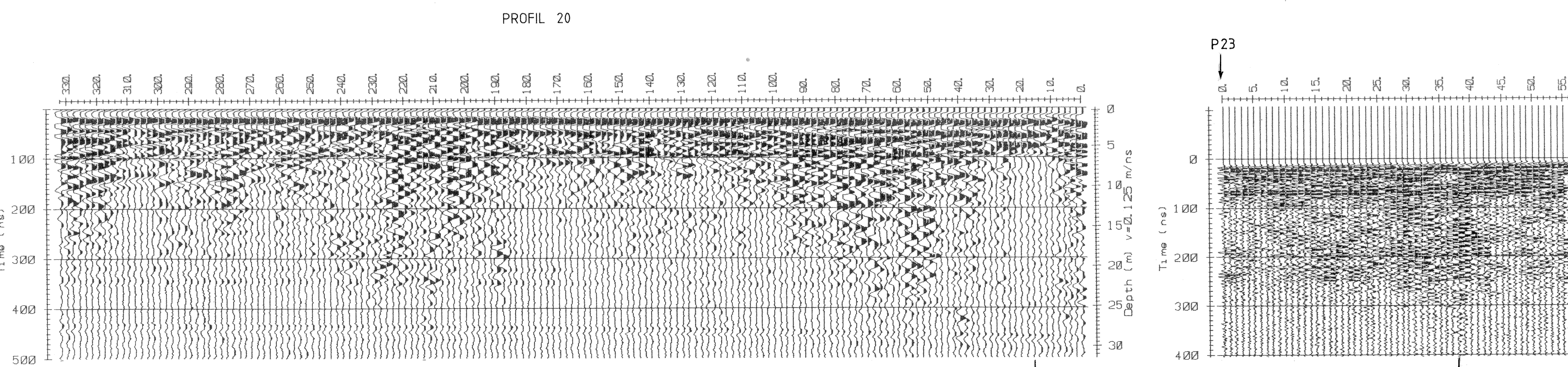
NGU / FANEPROSJEKT GARDERMOEN
GEORADARPROFIL 10 OG 11
FRANZEF OSS SYD (VILBERG)
ULLENSAKER KOMMUNE, AKERSHUS

| | | |
|-----------|----------|----------|
| MÅLESTOKK | MÅLT TL | MAI 1992 |
| KART | TEGN. EM | OKT 1992 |
| 1: 10 000 | TRAC. | |
| 1: 2 000 | KFR. | |

NORGES GELOGISKE UNDERSØKELSE
TRONDHEIM

TEGNING NR.
92.276 - 04

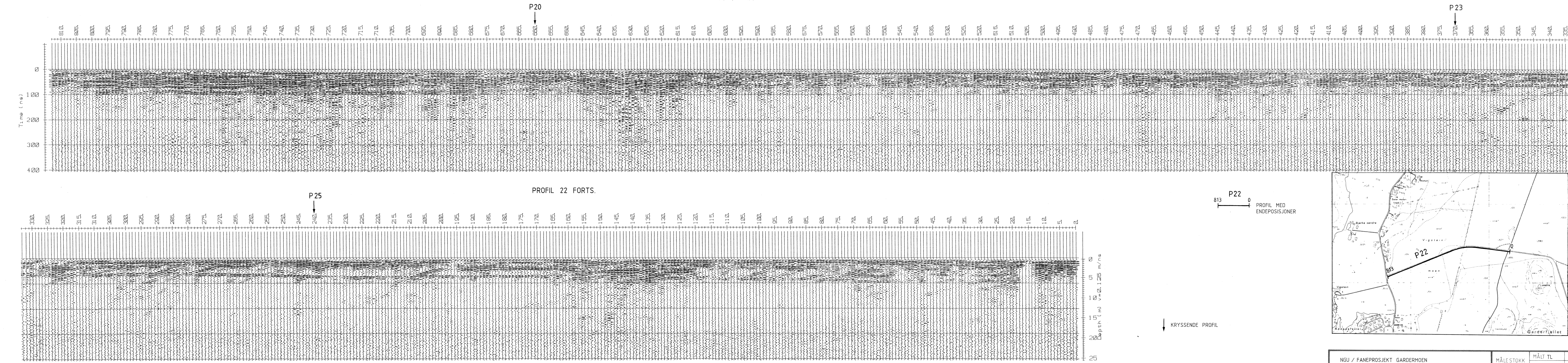
KARTBLAD NR.
1915 II



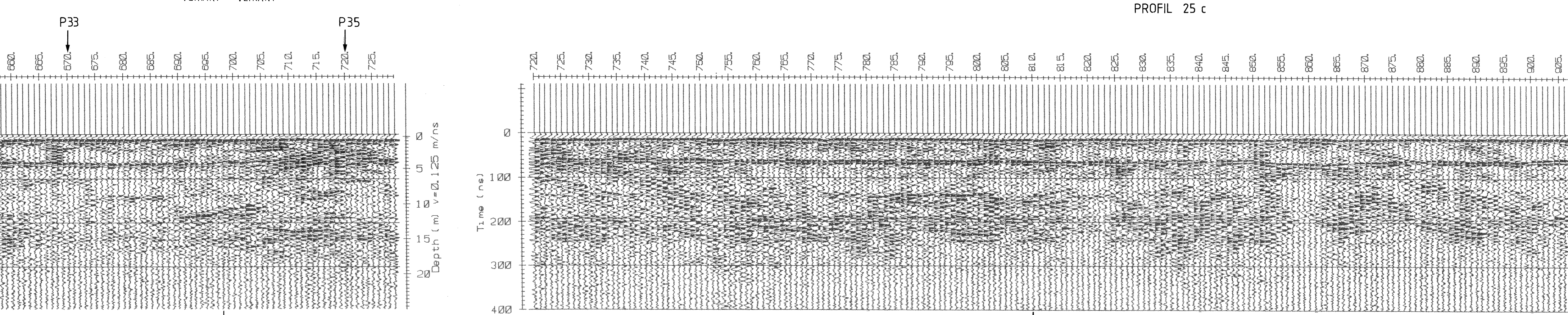
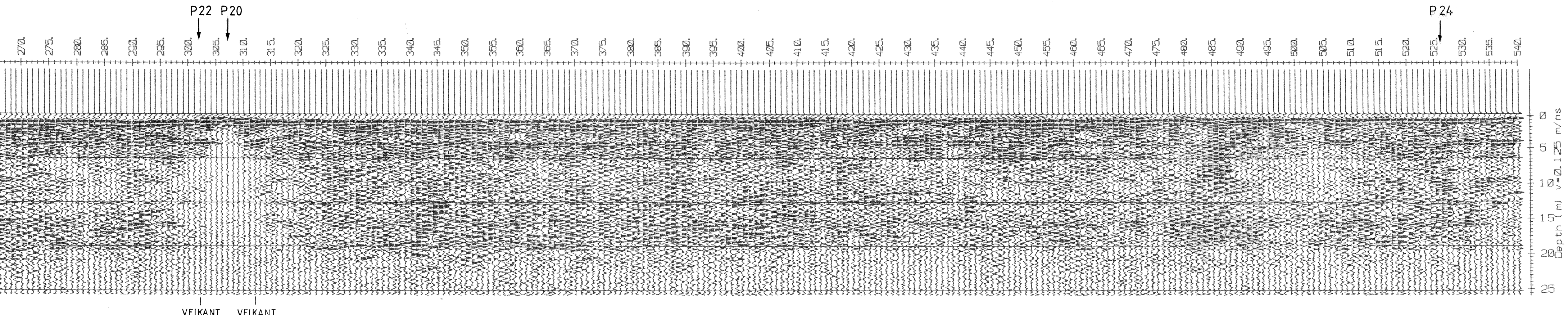
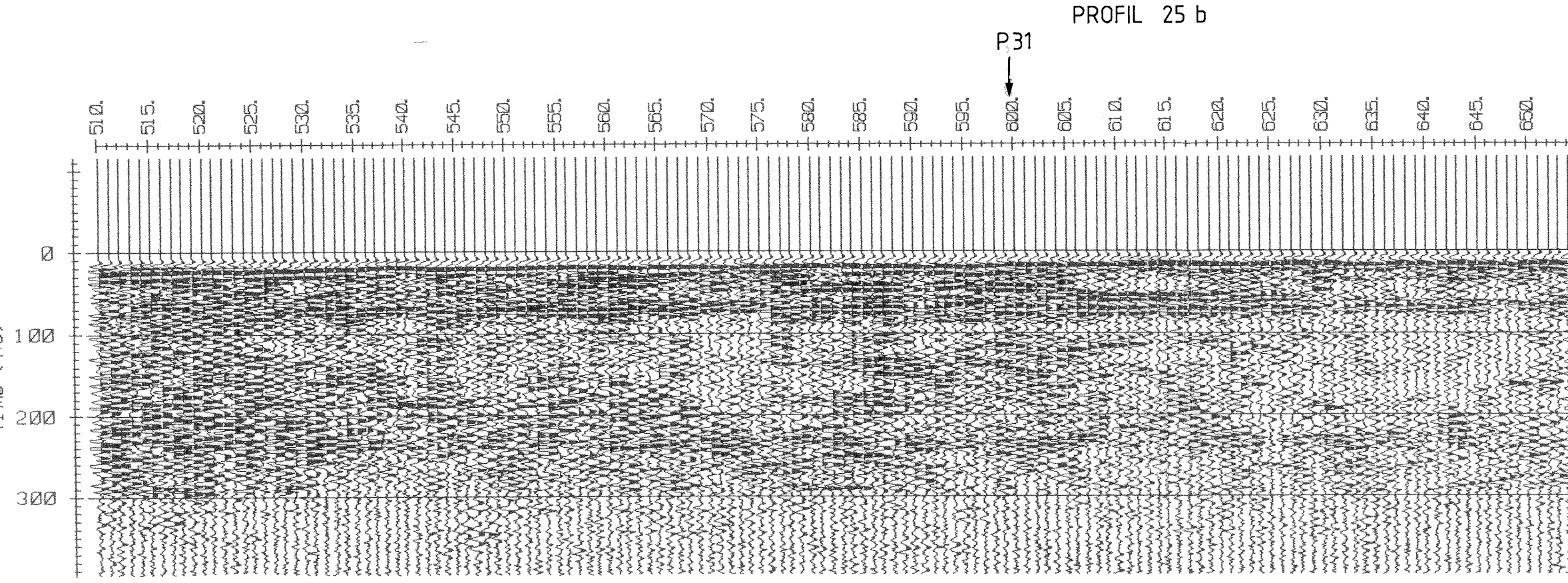
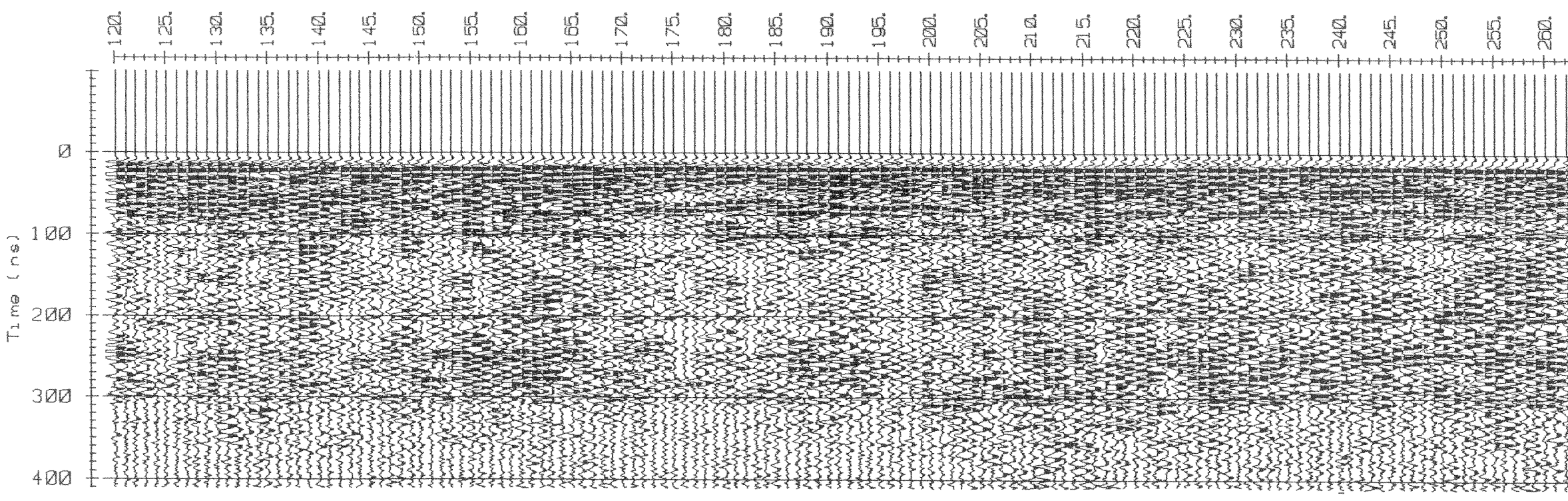
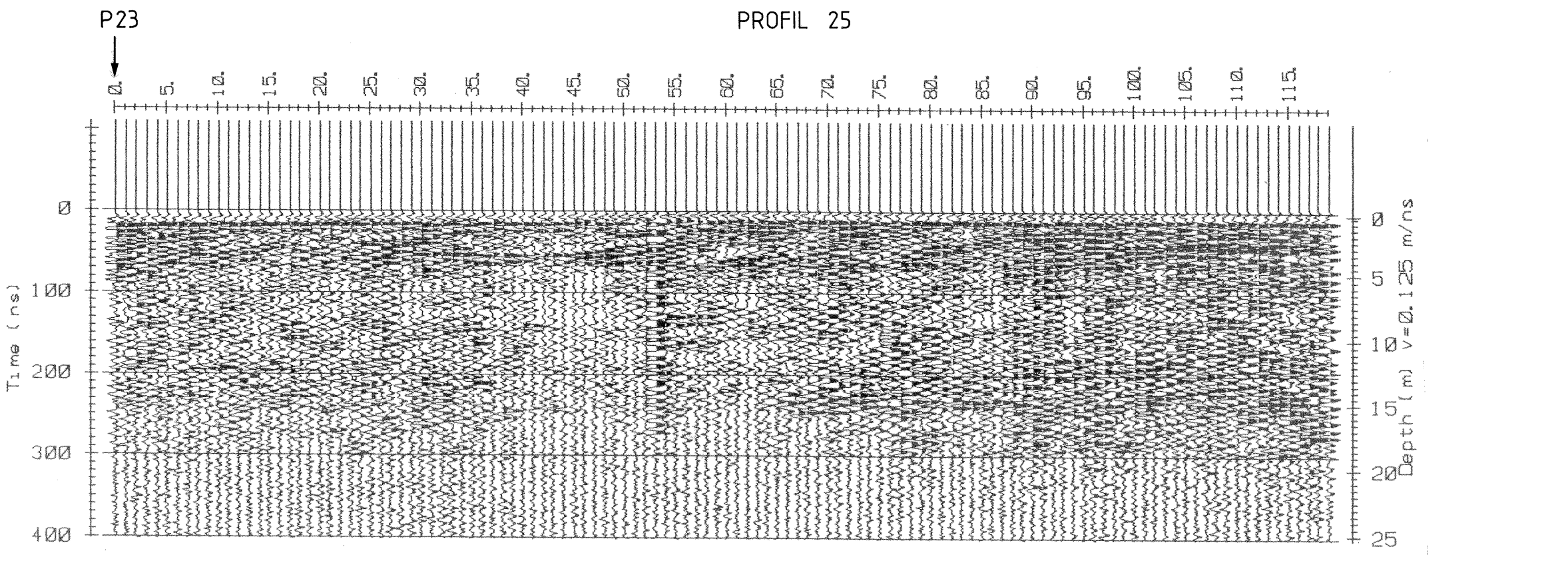
NGU / FANEPROSJEKT GARDERMOEN
GEORADARPROFIL 20 OG 24
VIGSTEINMOEN (MOREPSEN)
NANNESTAD/ULLENSAKER KOMMUNER, AKERSHUS

| | | |
|--------------------------------|--------------------------------------|-----------------------------|
| MÅLESTOKK KART 1: 10 000 | MÅLT TL TEGN. EM TRAC. KFR. | MAI 1992 OKT 1992 |
| TEGNING NR. 92.276 - 05 | | KARTBLAD NR. 1915 II+III |

NORGES GEOLISKE UNDERSØKELSE
TRONDHEIM.



| | | | |
|--|-------------------|---------------------|-------------------------------|
| NGU / FANEPROJEKT GARDERMOEN GEORADARPROFIL 22 | MÅLESTOKK KART | MÅLT TL TEGN. EM | MAI 1992 OKT 1992 |
| VIGSTEINMOEN (MOREPPEN) NANNESTAD/ULLENSAKER KOMMUNER, AKERSHUS | 1: 10 000 | TRAC. KFR. | |
| NORGES GEOLISKE UNDERSØKELSE TRONDHEIM. | | | TEGNING NR. 92.276 - 06 |
| | | | KARTBLAD NR. 1915 II + III |

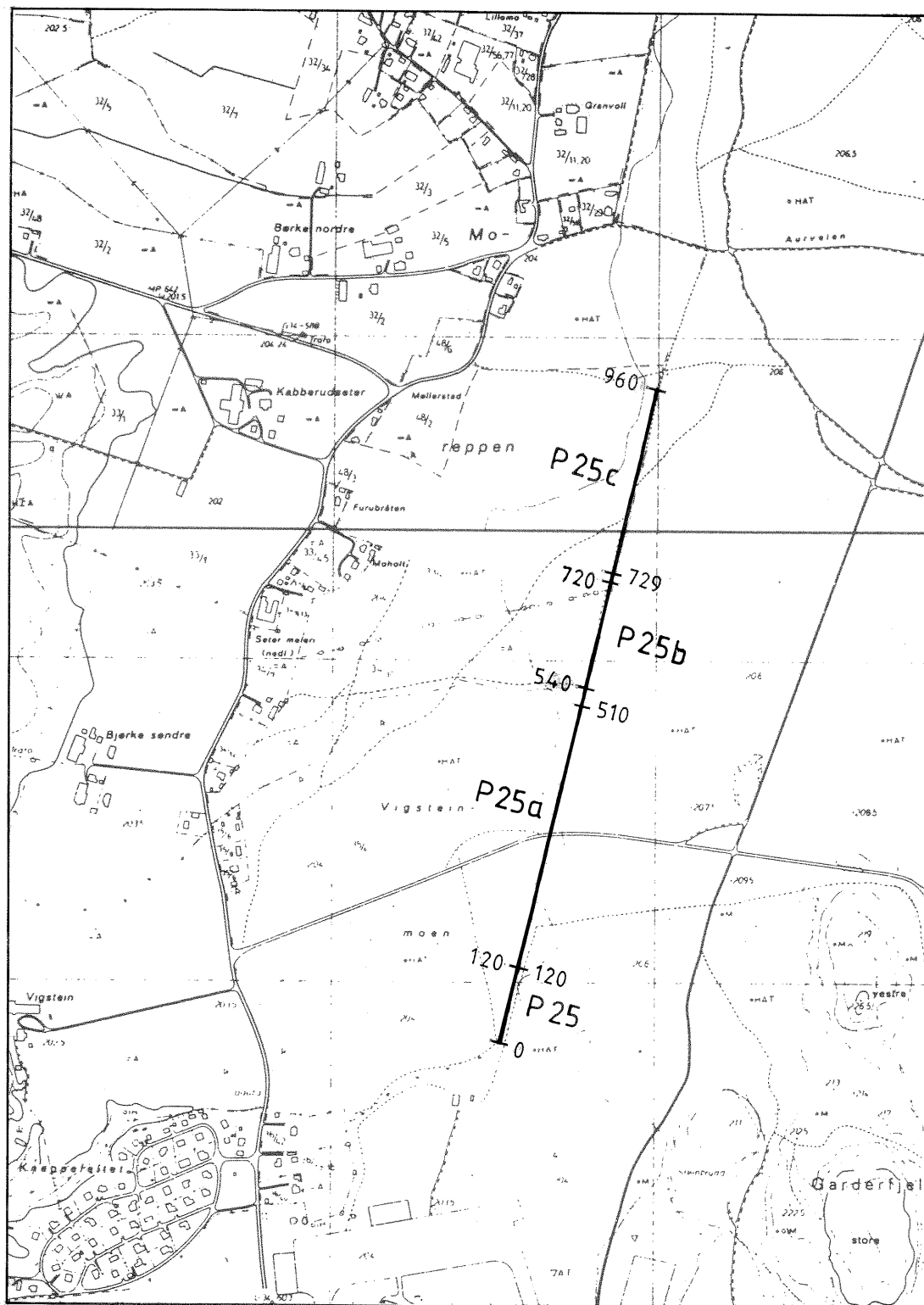


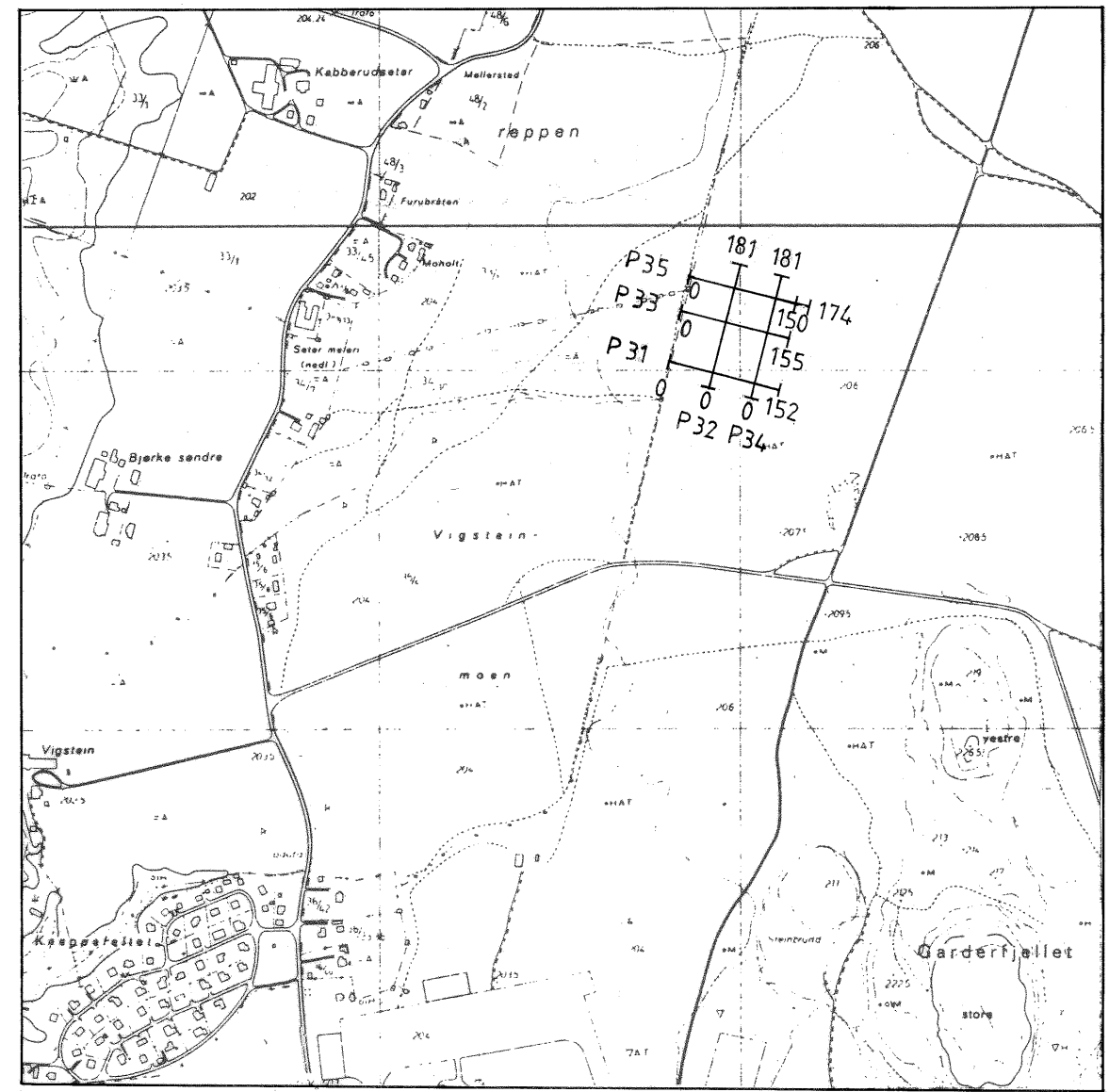
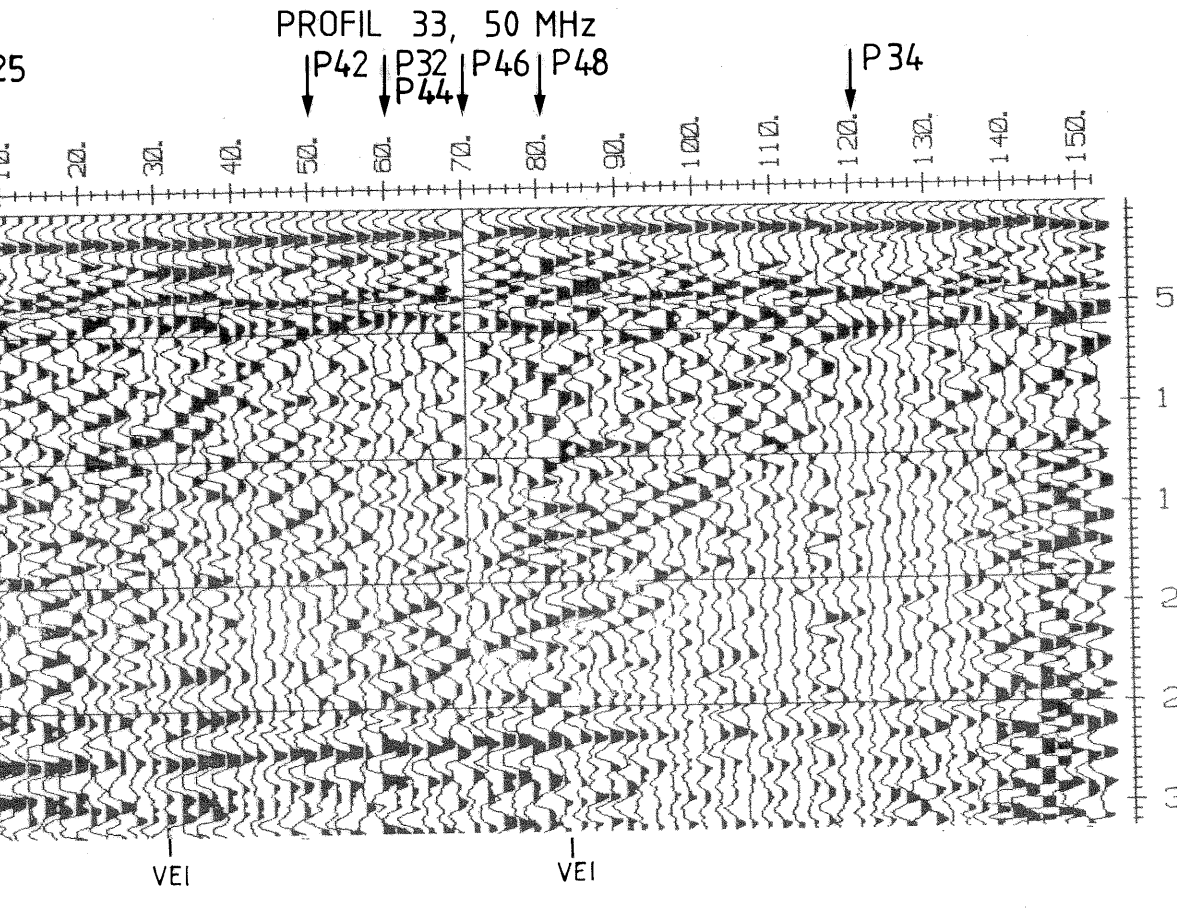
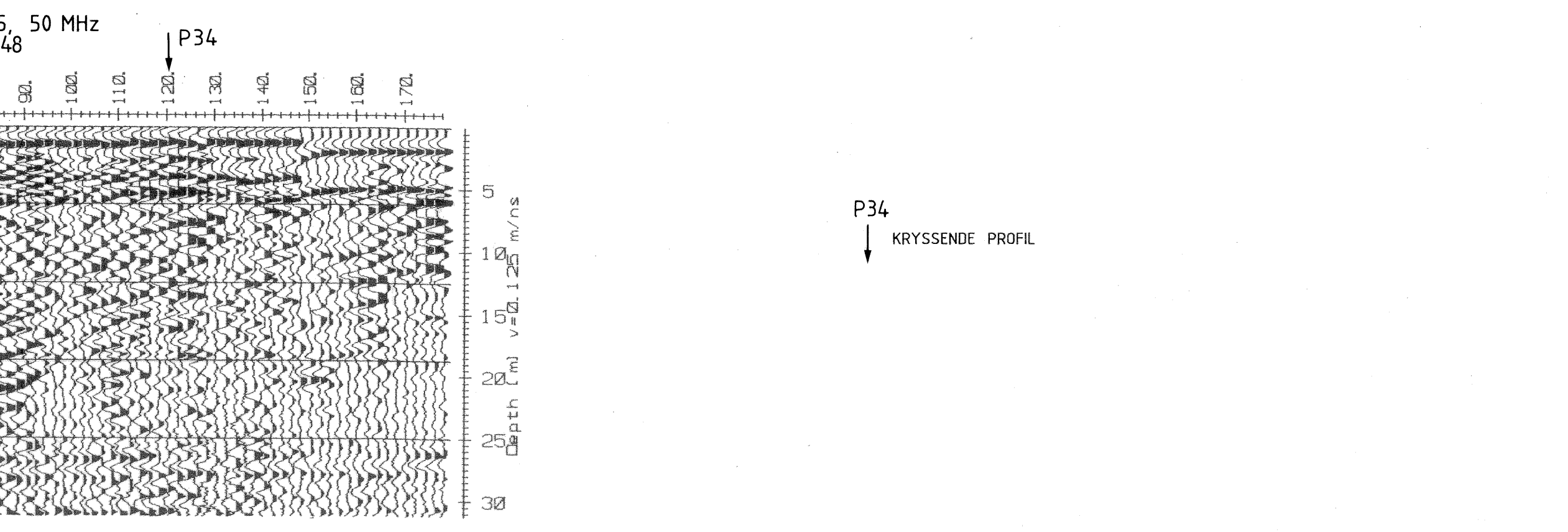
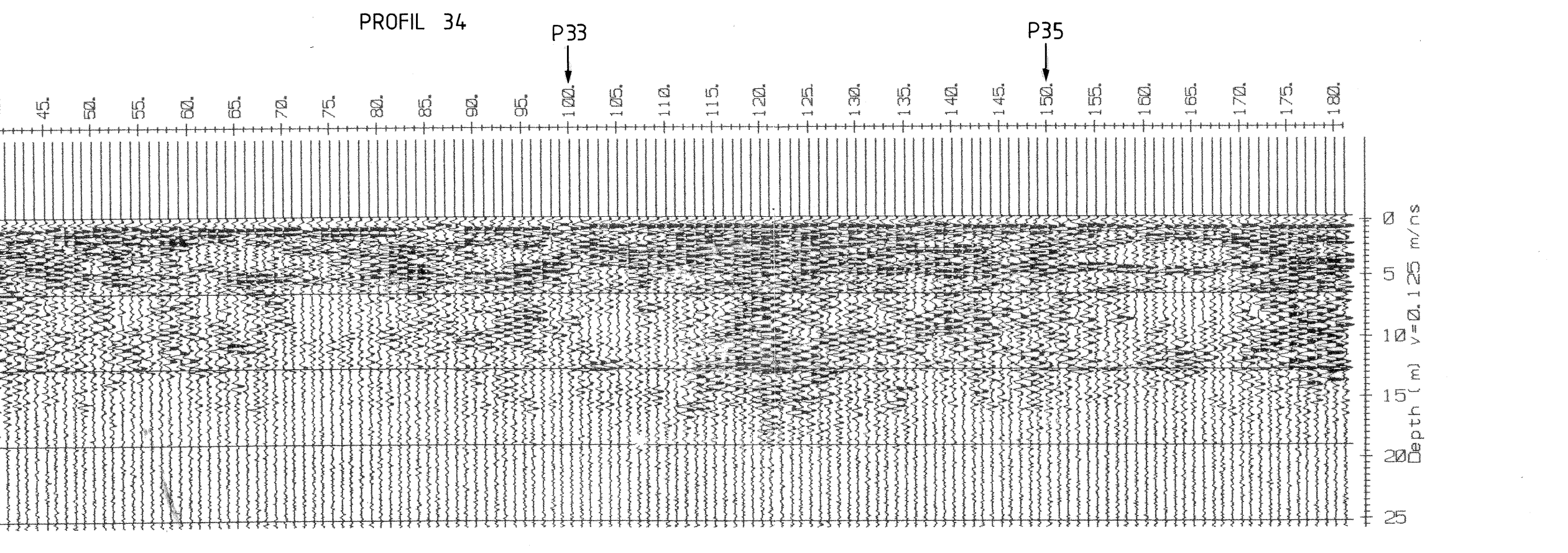
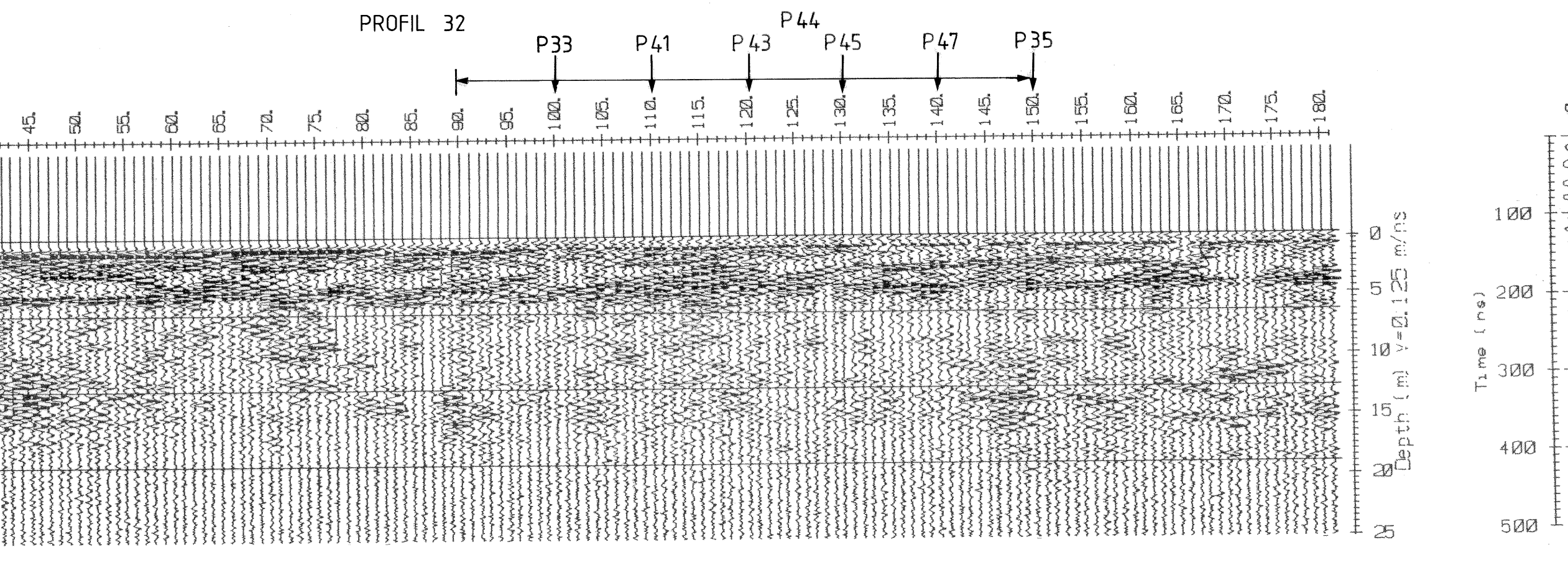
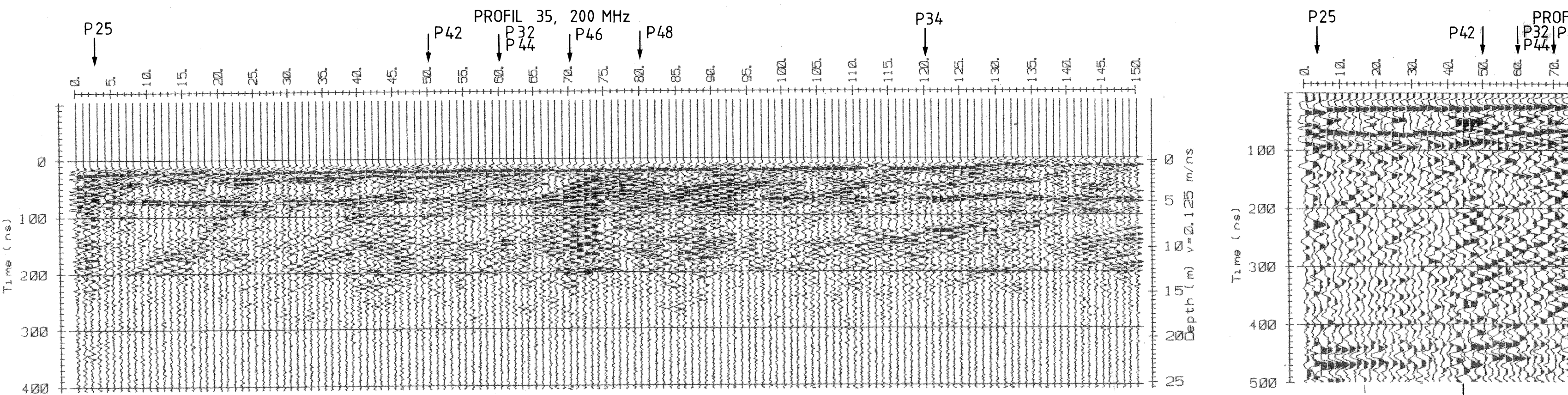
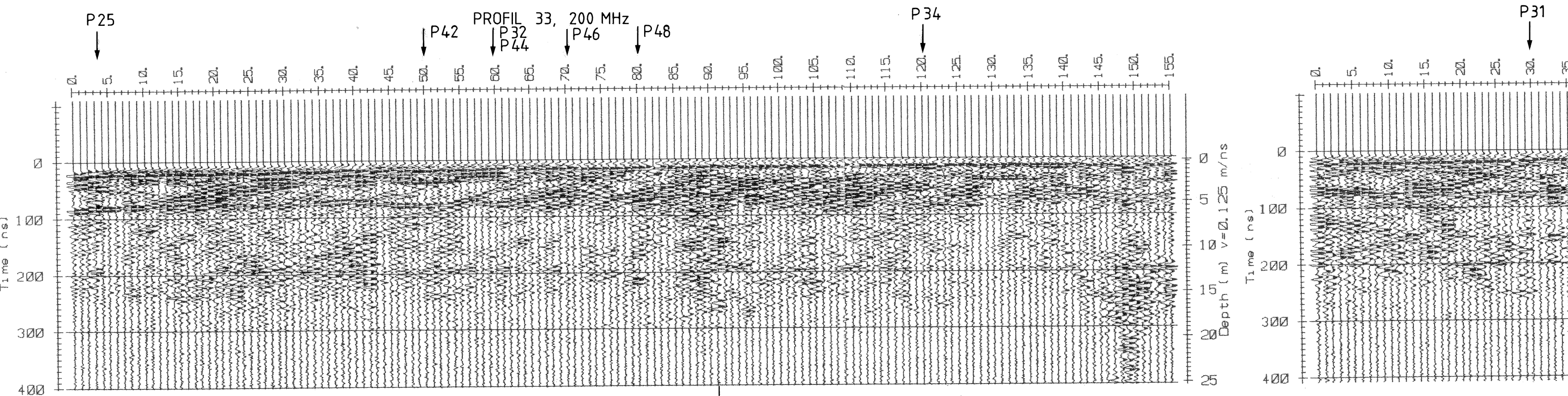
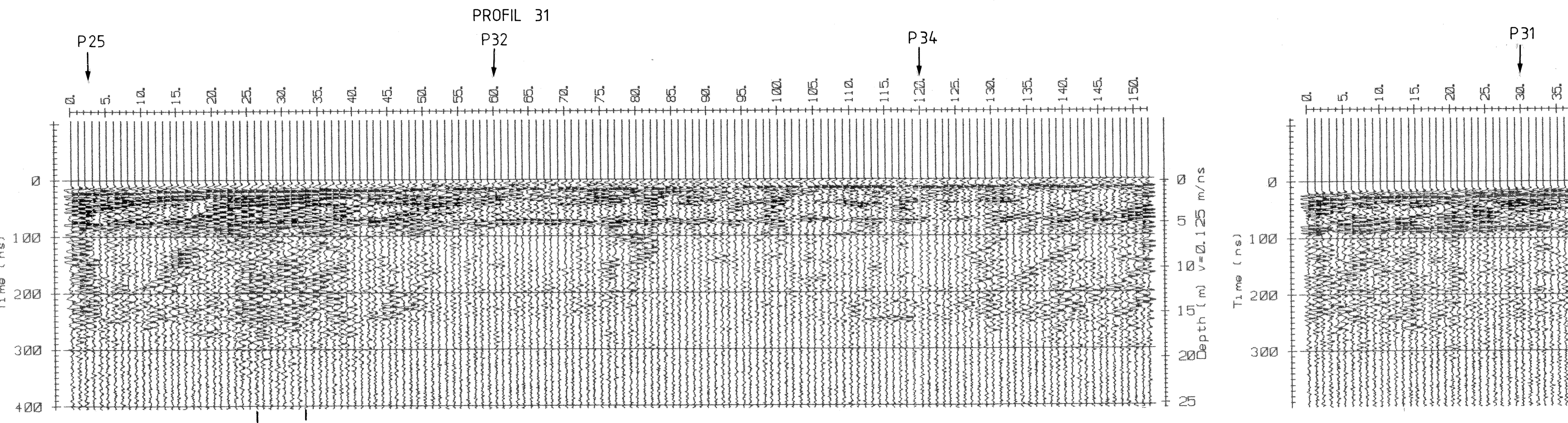
NGU / FANEPROSJEKT GARDERMOEN
GEORADARPROFIL 25

VIGSTEINMOEN (MOREPSEN)
NANNESTAD/ULLENSAKER KOMMUNER, AKERSHUS

| | | |
|--------------------------------|------------------------------------|------------------|
| MÅLESTOKK KART 1: 10 000 | MÅLT TL TEGN EM TRAC KFR. | MAI 19 OKT 19 |
|--------------------------------|------------------------------------|------------------|

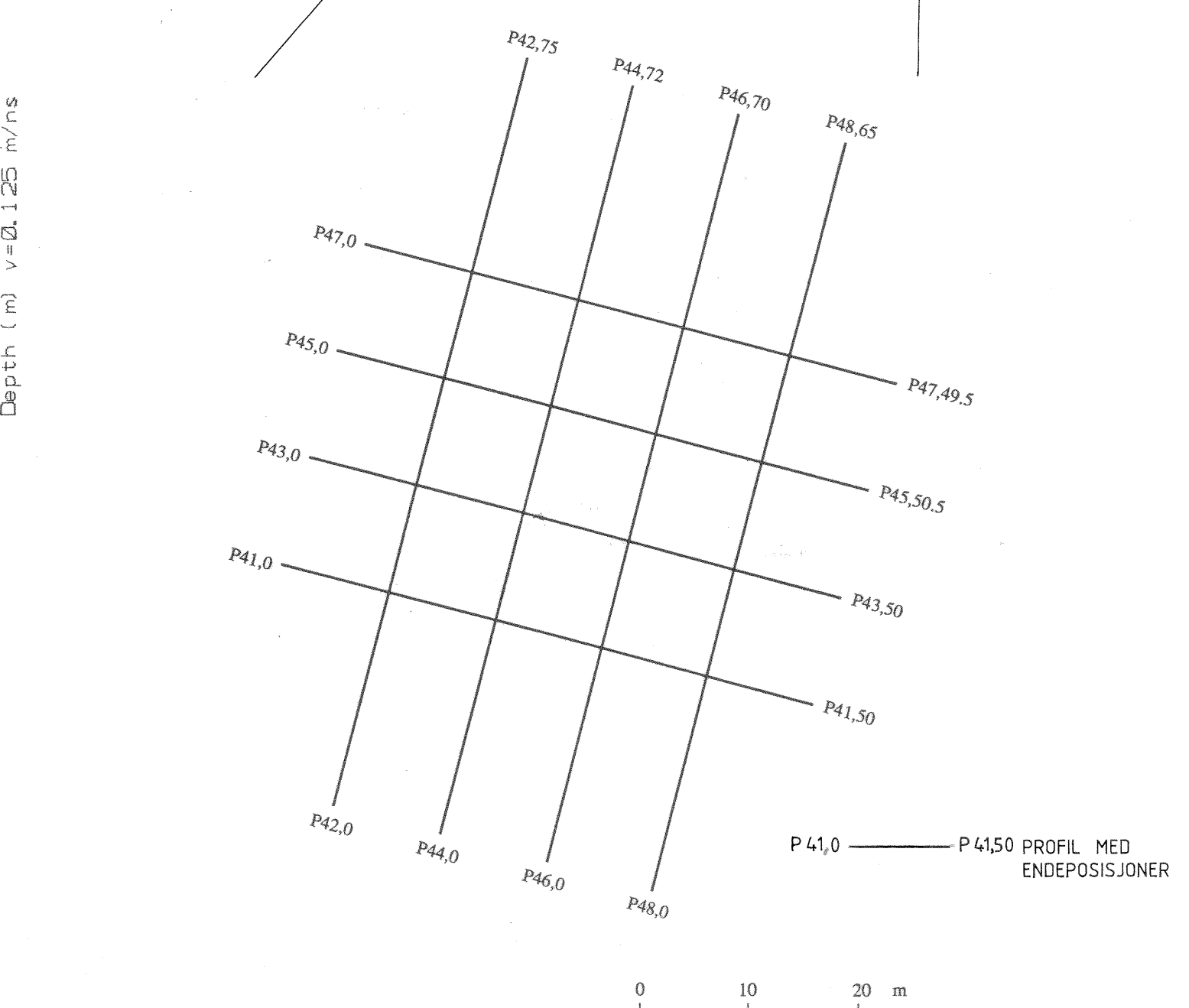
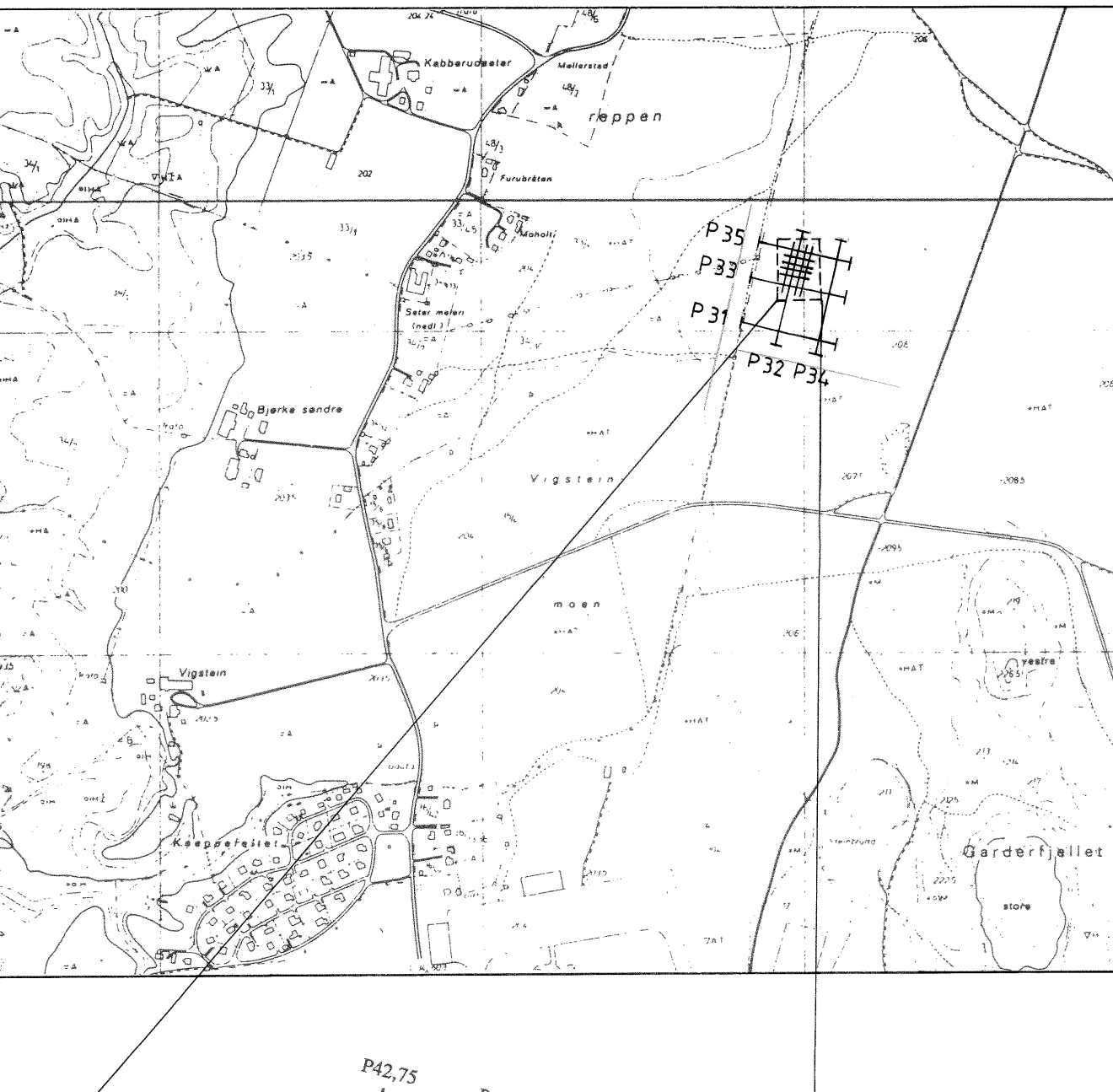
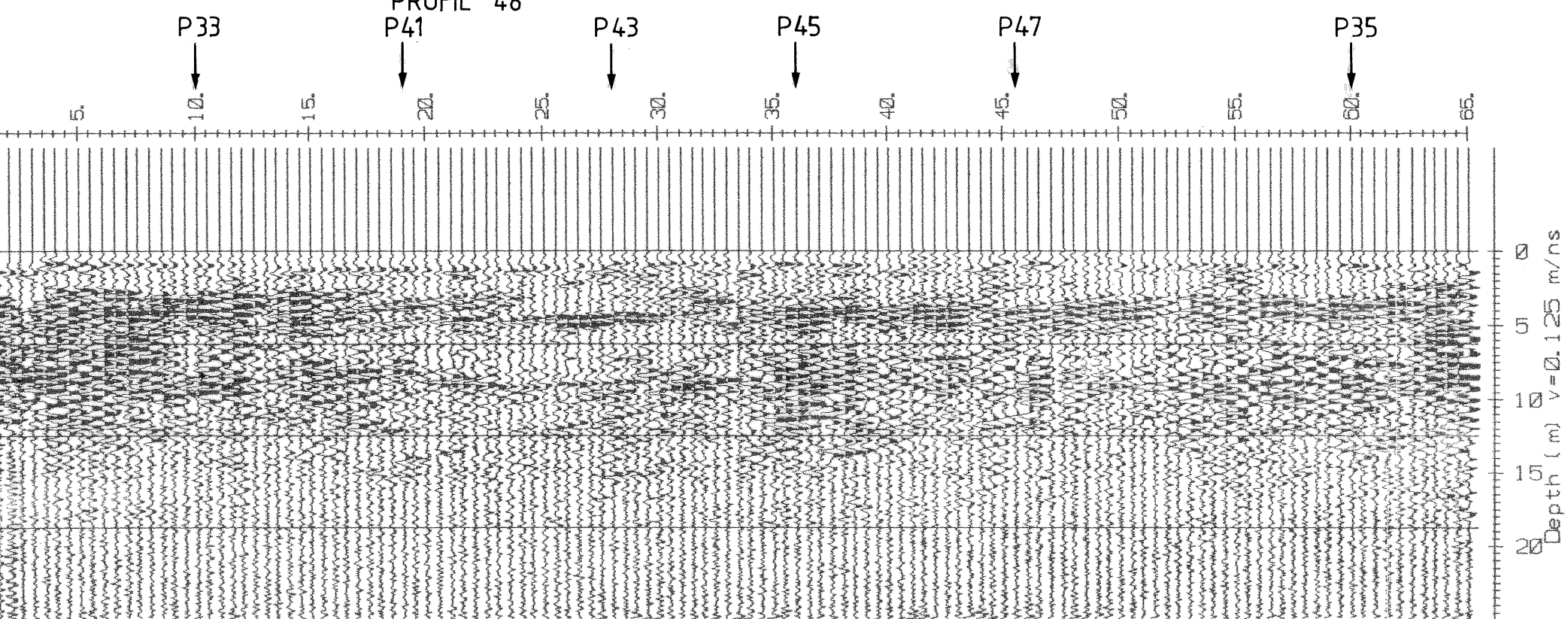
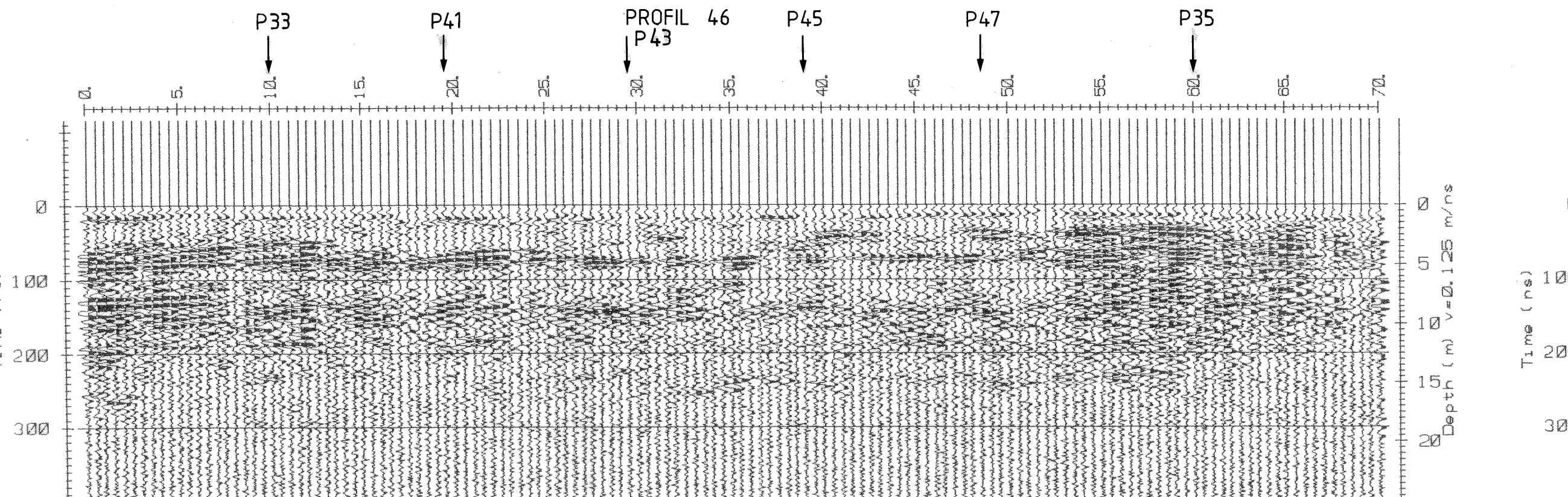
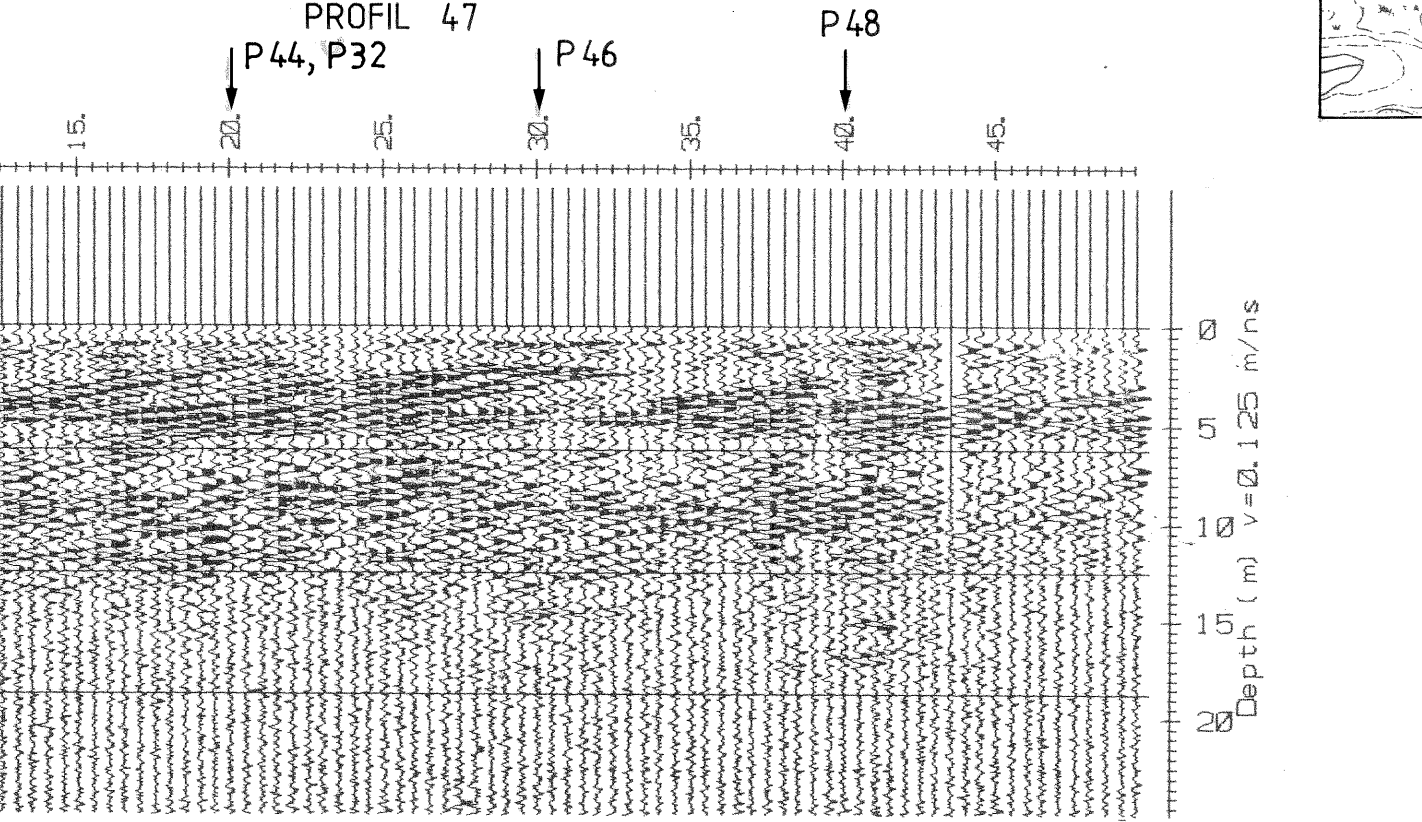
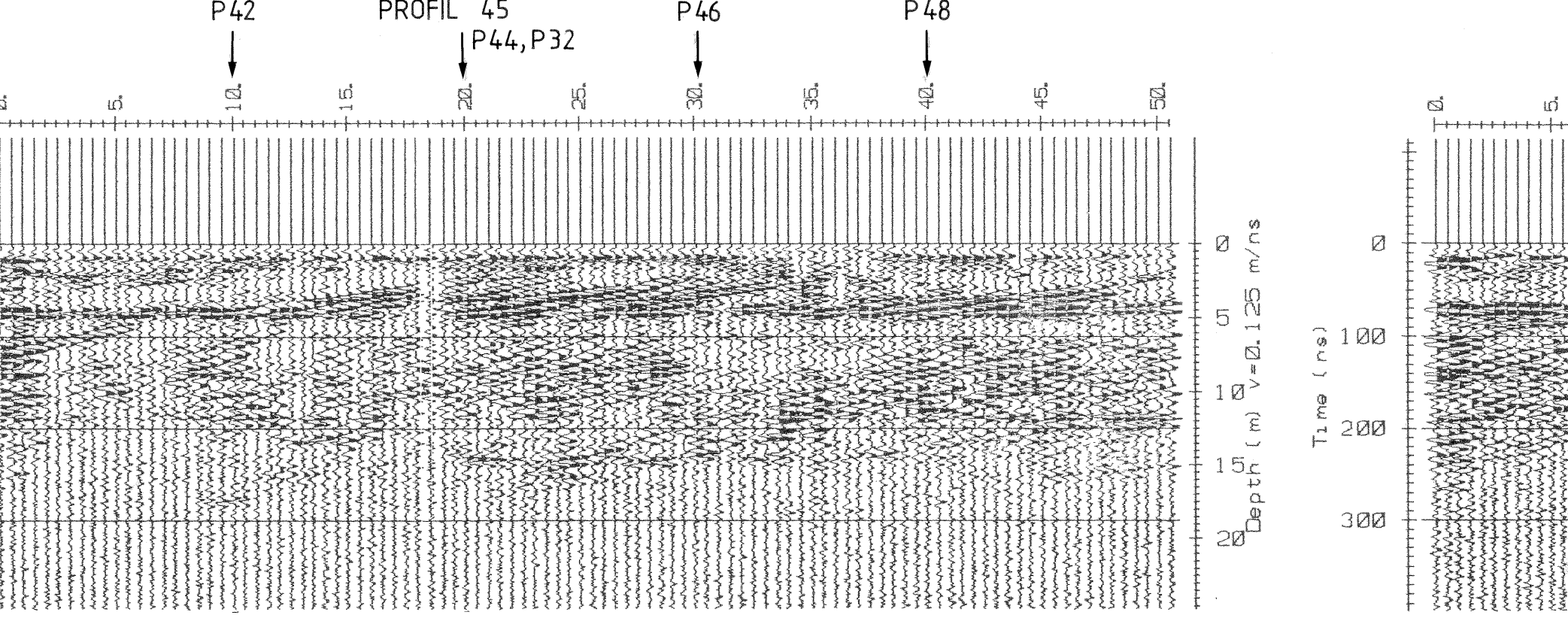
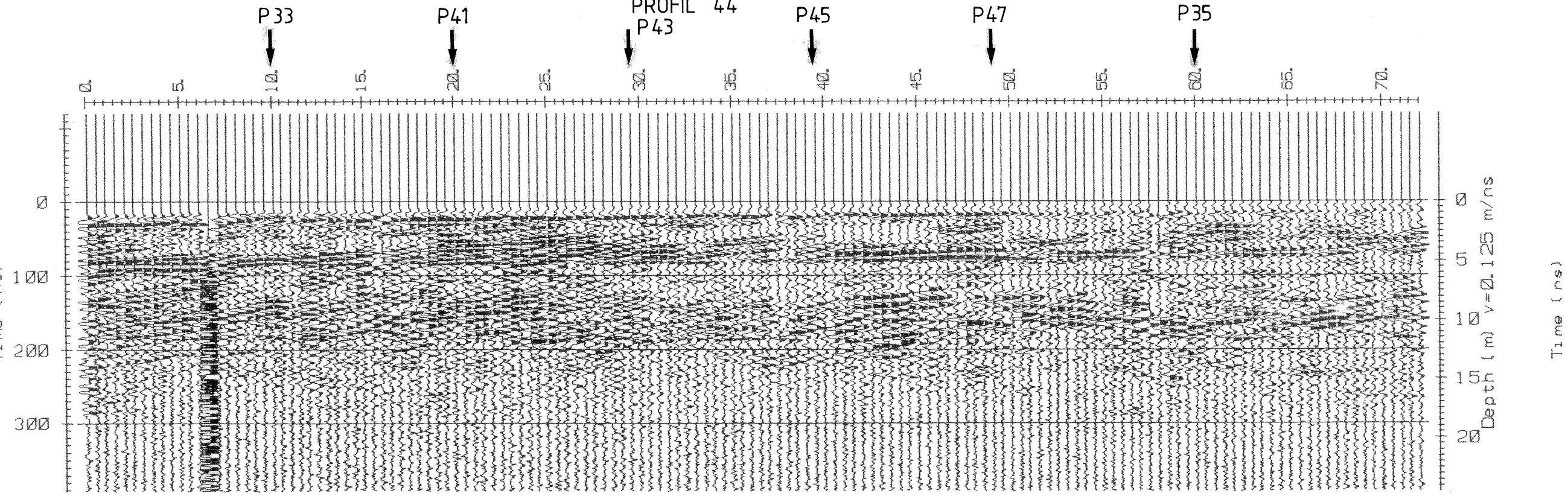
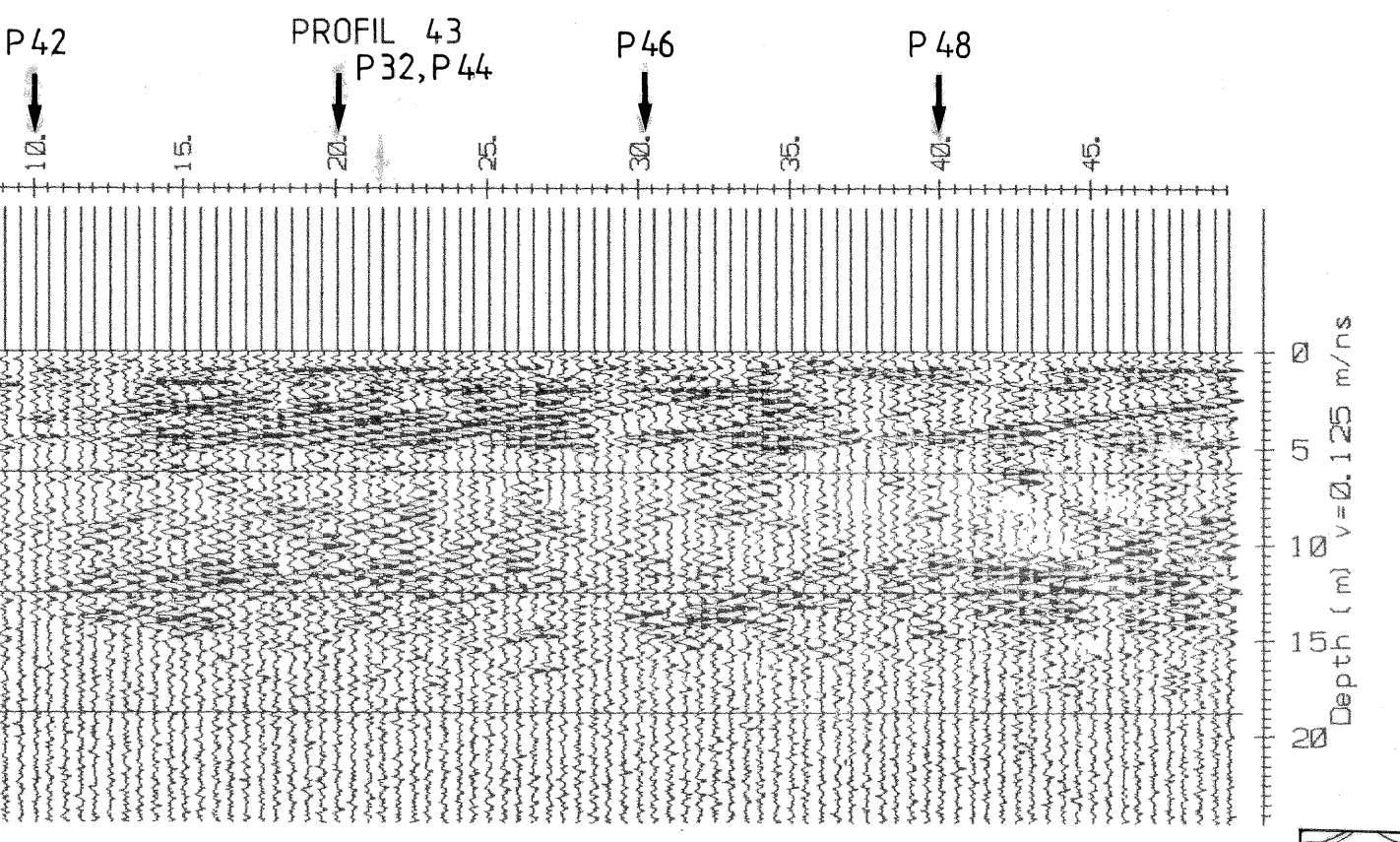
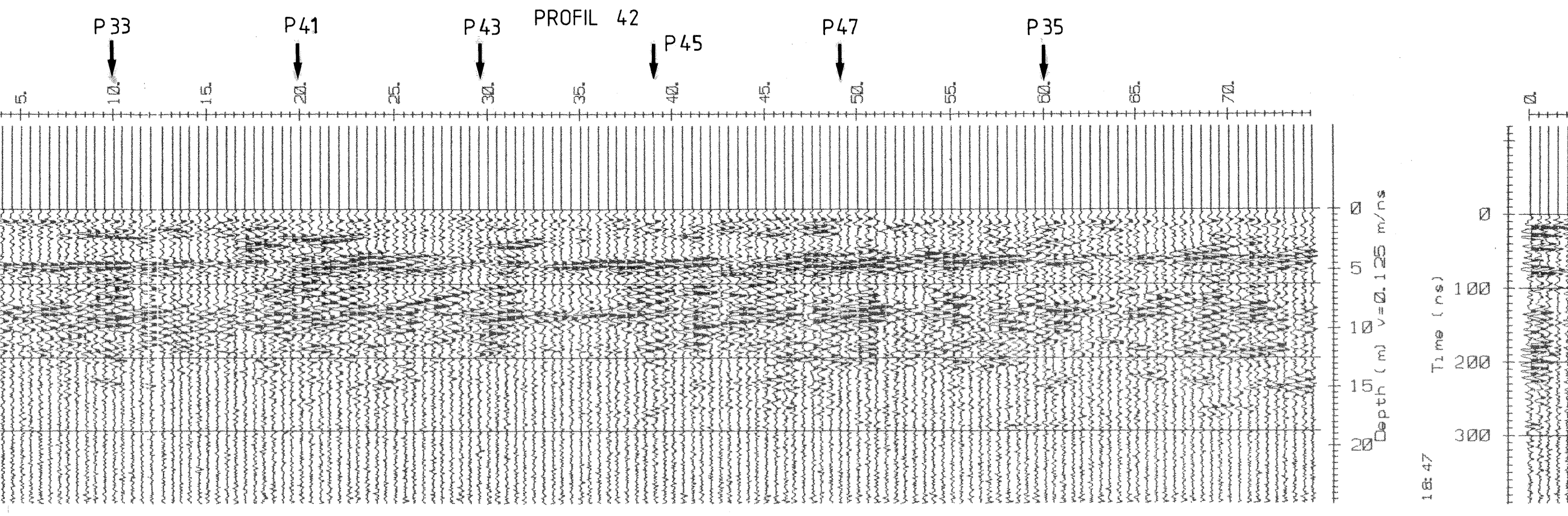
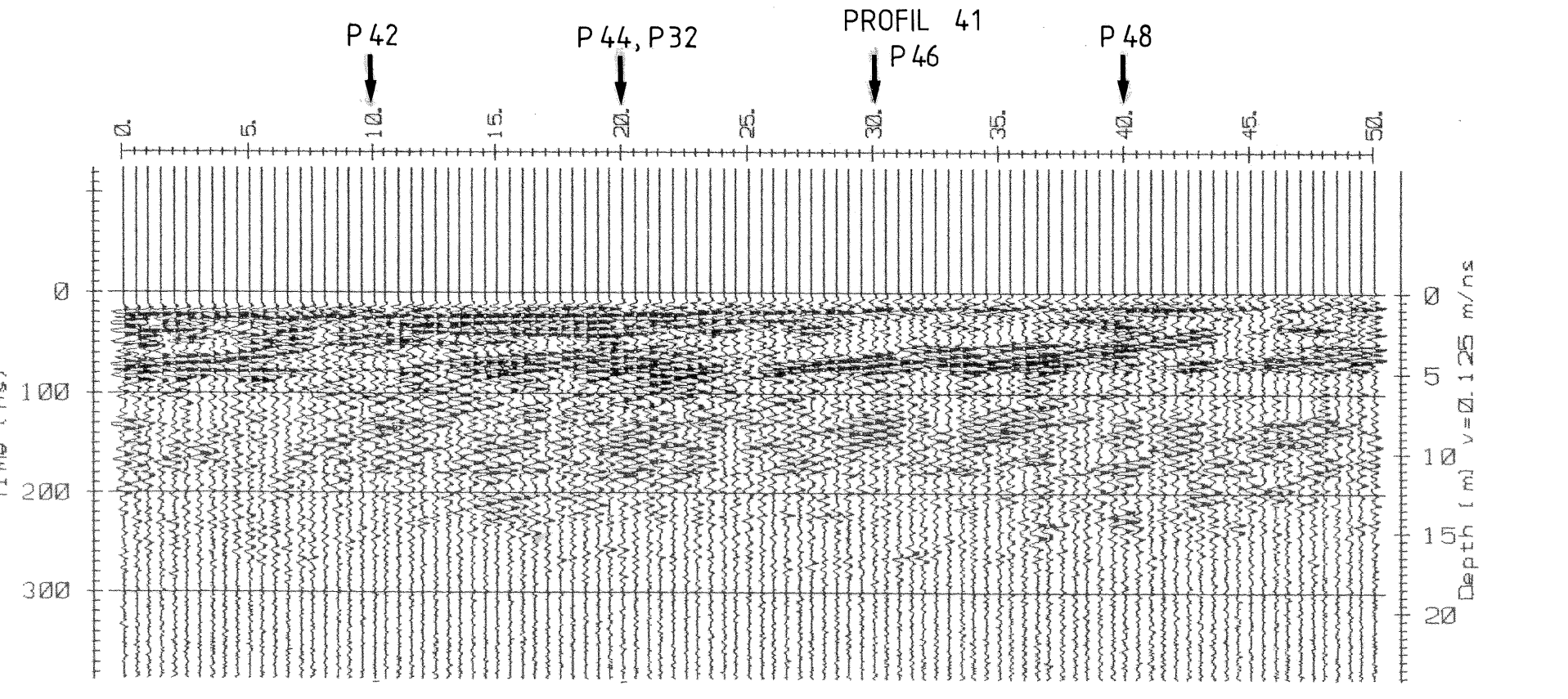
92





MÅLT TL MAI 1992
TEGN EM OKT 1992
VIGSTEINMOEN (MOREPPEN)
NANNESTAD/ULLENSAKER KOMMUNER, AKERSHUS

NORGES GEOLGIKSE UNDERSØKELSE
TRONDHEIM
TEGNING NR. 92.276 - 09
KARTBLAD NR. 1915 II + III



DE PROFIL

NGU / FANEPROSJEKT GARDERMOEN
GEORADARPROFIL 41 - 48

VIGSTEINMOEN (MOREPPEN)

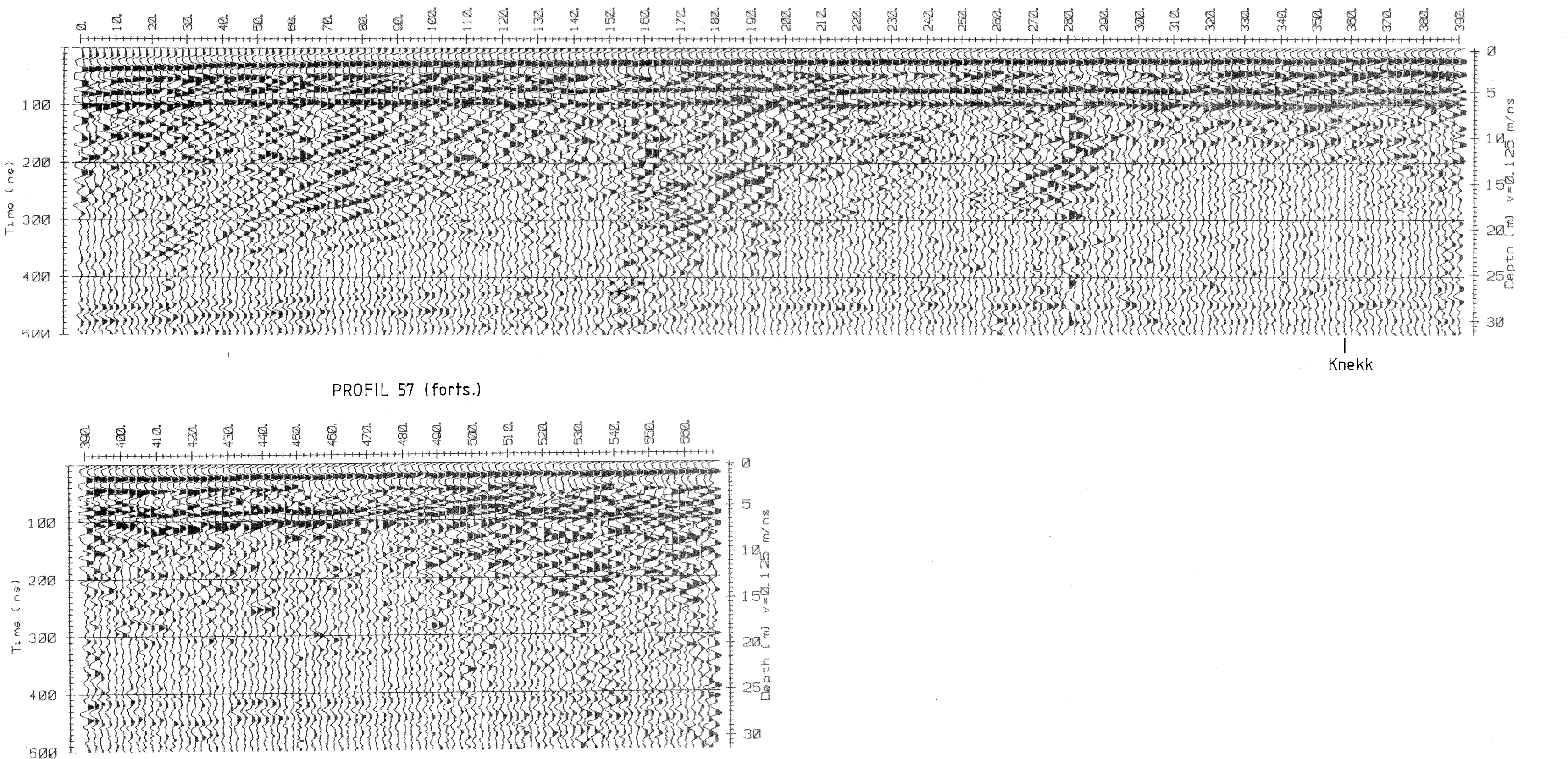
NANNESTAD/ULLENSAKER KOMMUNER, AKERSHUS

NORGES GEOLOGISKE UNDERSØKELSE
TRONDHEIM

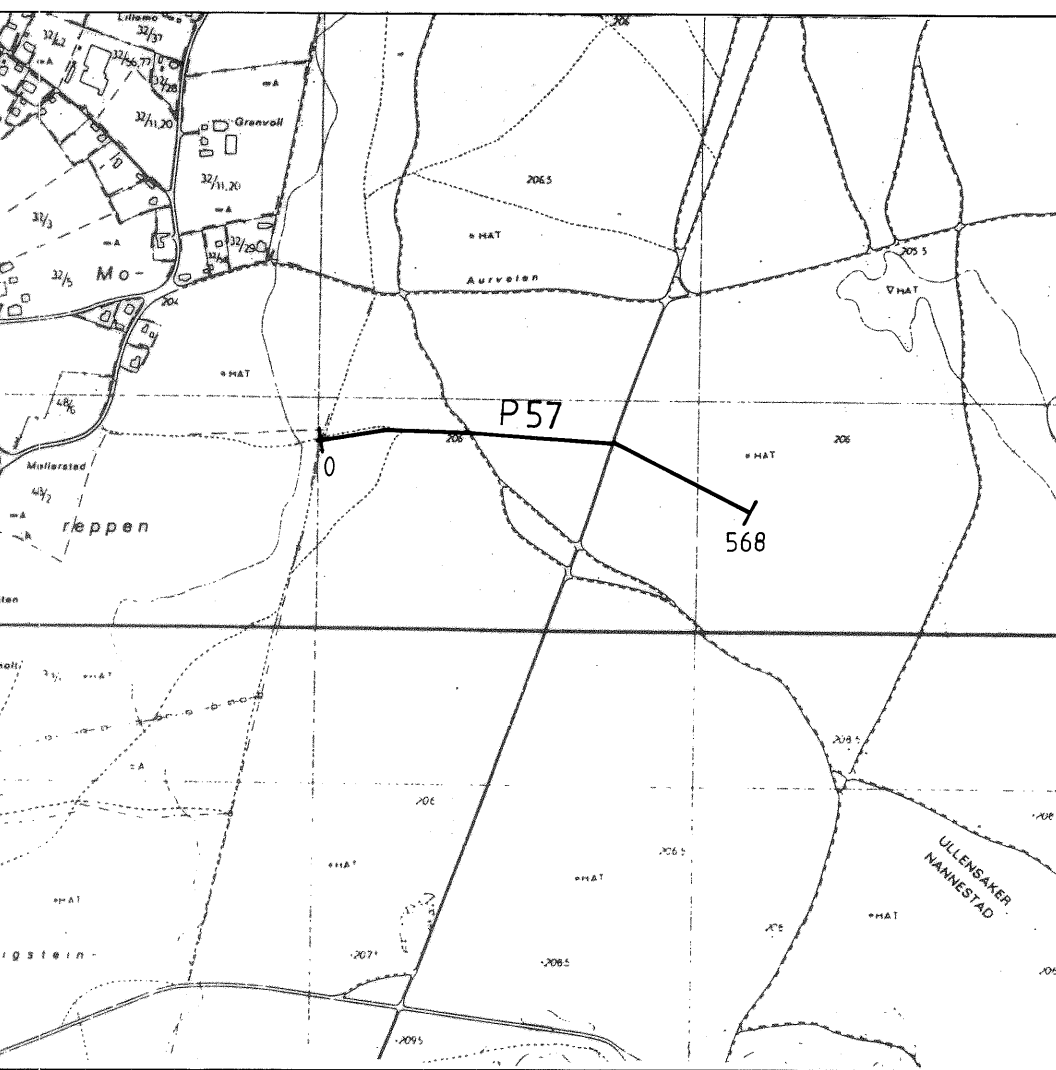
| | | |
|---------------------|----------------------------|--------------|
| MÅLESTOKK KART | MÅLT TL TEGN EM TRAC | MAI 1 OKT |
| 1: 10 000 1: 525 | KFR. | |

TEGNING NR. KARTBLAD N
92.276 - 10 1915 II +

PROFIL 57

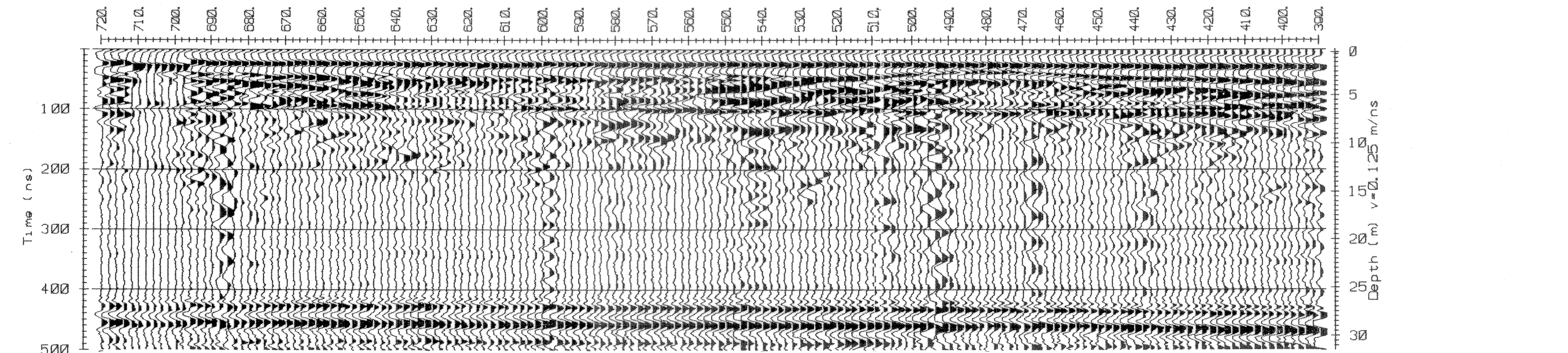


P57
0 568 Profil med endepositioner

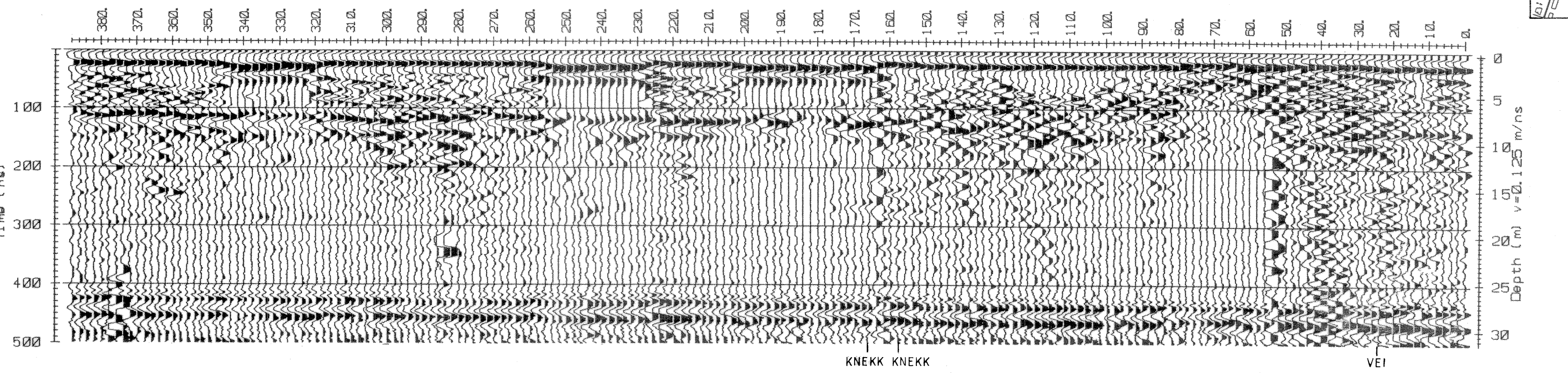


| | | | |
|--|---|---|---|
| NGU / FANEPROSJEKT GARDERMOEN GEORADARPROFIL 57 VIGSTEINMOEN (MOREPPEN) NANNESTAD/ULLENSAKER KOMMUNER, AKERSHUS | MÅLESTOKK TEGN. EM TRAC. 1: 10 000 KFR. | MÅLT TL OKT 1992 KART TEGNING NR. 92.276 - 11 | MAI 1992 KARTBLAD NR. 1915 II + III |
| NORGES GELOGISKE UNDERSØKELSE TRONDHEIM | | | |

PROFIL 60

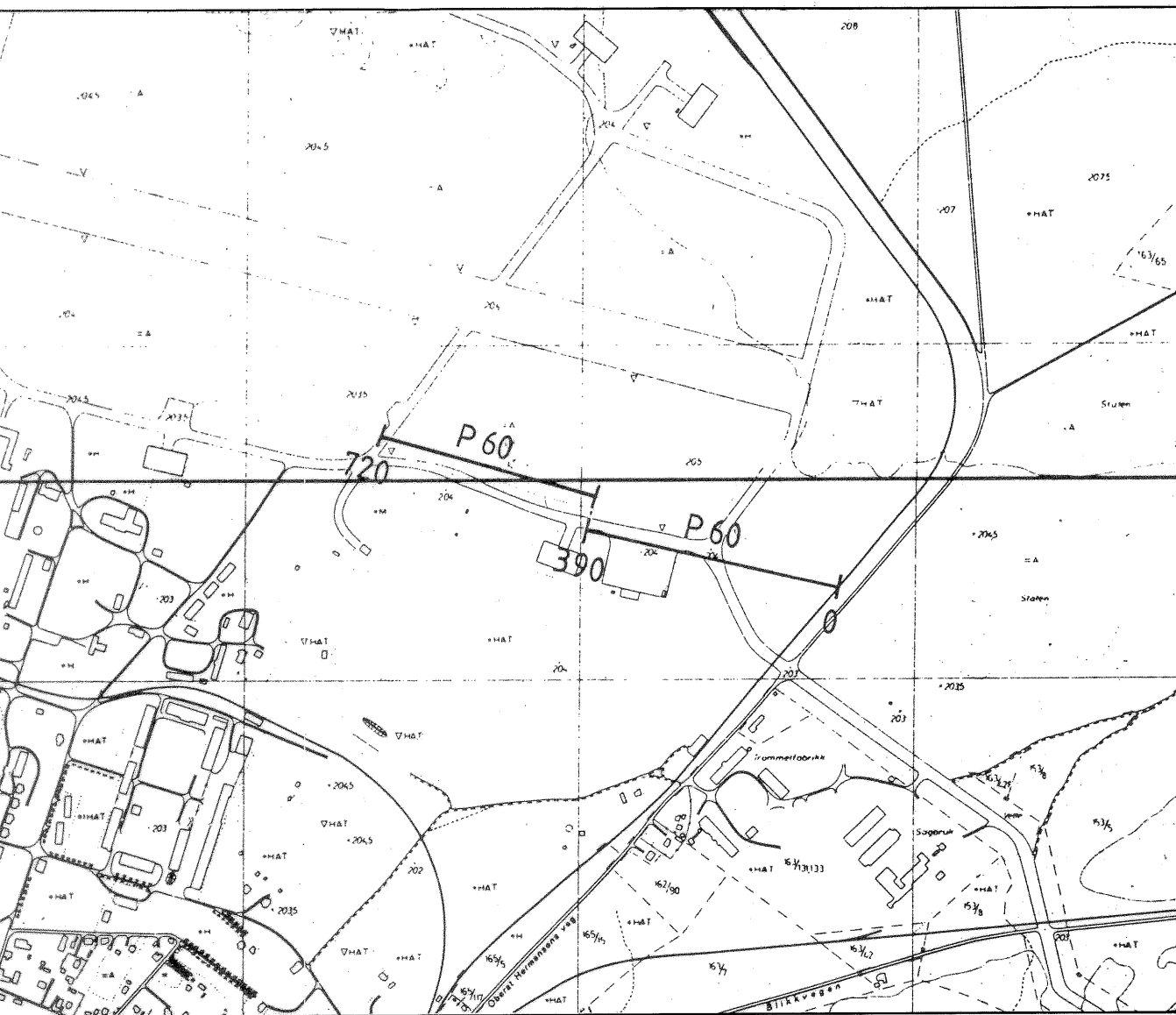


PROFIL 60 FORTS.



KNEKK KNEKK

VEI



P60
720 0 PROFIL MED
ENDEPOSISJONER

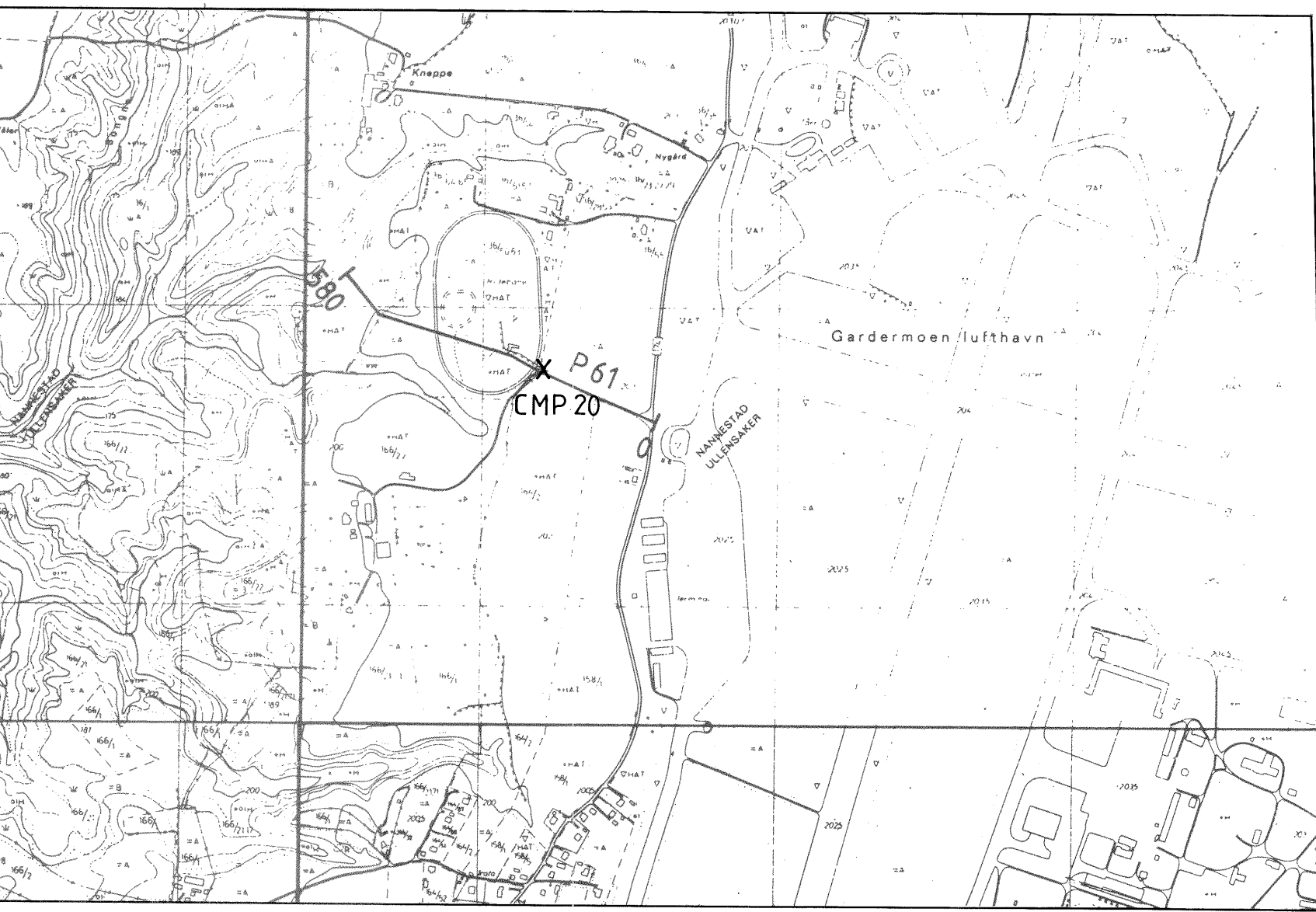
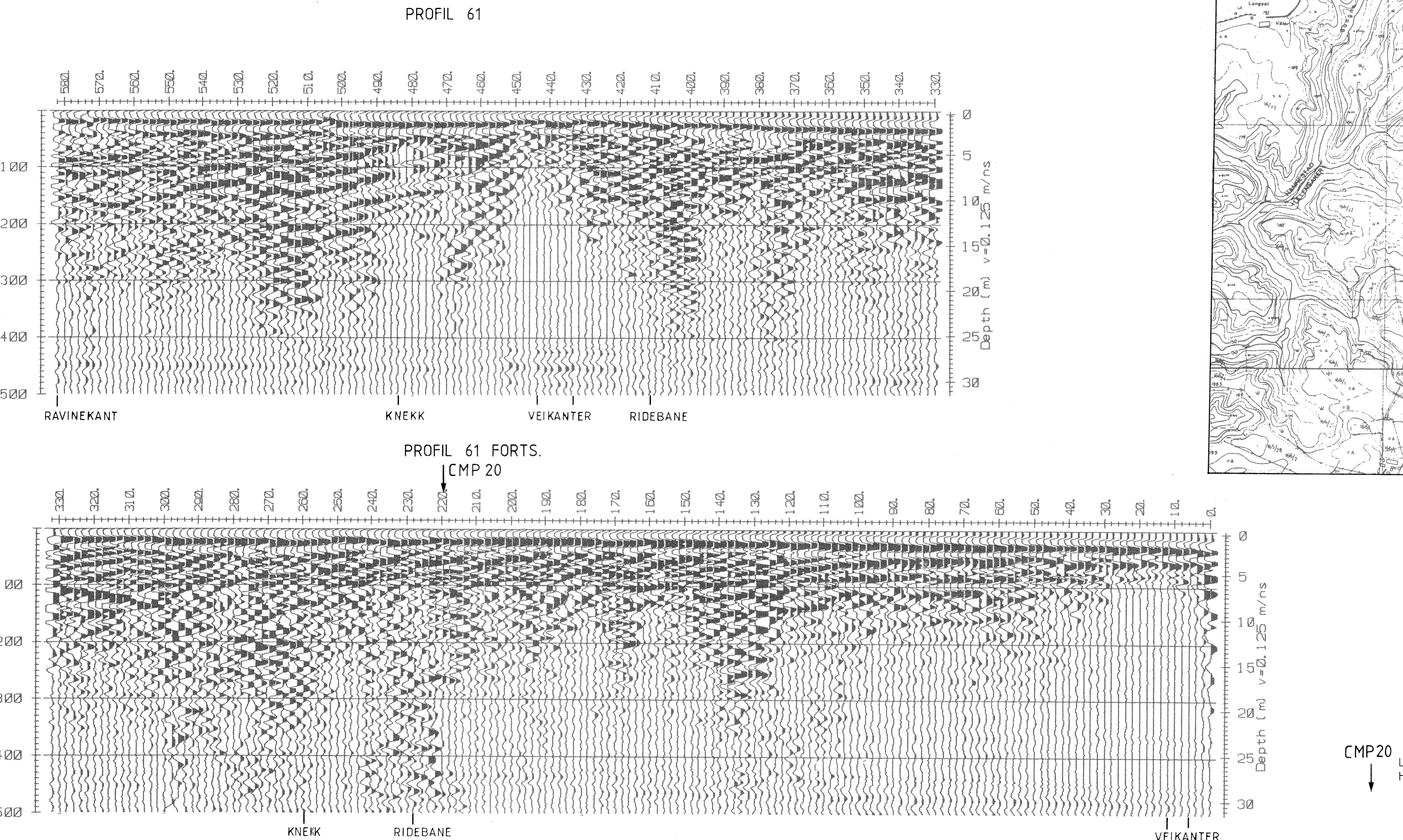
NGU / FANEPROJEKT GARDERMOEN
GEORADARPROFIL 60
GARDERMOEN ØST
ULLENSAKER KOMMUNE, AKERSHUS

MÅLESTOKK
KART
1: 10 000

MAŁT TL
TEGN.EM/TL
TRAC.
KFR.

NORGES GEOLISKE UNDERSØKELSE
TRONDHEIM

TEGNING NR.
92.276 - 12
KARTBLAD NR.
1915 II



P61
580 0 PROFIL MED
ENDEPOSISJONER
X CMP 20 LOKALITET FOR
HASTIGETSANALYSE

CMP20 LOKALITET FOR
HASTIGETSANALYSE

NCU / FANEPROSJEKT GARDERMOEN
GEORADARPROFIL 61
GARDERMOEN VEST
NANNESTAD KOMMUNE, AKERSHUS

| | | |
|----------------|----------|----------|
| MÅLESTOKK KART | MÅLT TL | MAI 1992 |
| TEGN. EM | OKT 1992 | |
| TRAC. | | |
| KFR. | | |

1: 10 000

NORGES GEOLISKE UNDERSØKELSE
TRONDHEIM

TEGNING NR. 92.276 - 13
KARTBLAD NR. 1915 III